

(19)



Евразийское  
патентное  
ведомство

(21)

202091290

(13)

A1

(12) ОПИСАНИЕ ИЗОБРЕТЕНИЯ К ЕВРАЗИЙСКОЙ ЗАЯВКЕ

(43) Дата публикации заявки  
2020.09.10

(51) Int. Cl. A61K 38/26 (2006.01)  
C07K 14/605 (2006.01)  
A61P 3/00 (2006.01)

(22) Дата подачи заявки  
2018.12.14

---

(54) АНАЛОГИ ИНКРЕТИНА И ИХ ПРИМЕНЕНИЕ

---

(31) 62/608,613

(72) Изобретатель:

(32) 2017.12.21

Алсина-Фернандес Хорхе, Коскун  
Тамер, Гуо Лили, Цюй Хунчан (US)

(33) US

(86) PCT/US2018/065663

(74) Представитель:

(87) WO 2019/125938 2019.06.27

Парамонова К.В., Угрюмов В.М.,  
Христофоров А.А., Гизатуллин Ш.Ф.,  
Гизатуллина Е.М., Глухарёва А.О.,  
Костюшенкова М.Ю., Лебедев В.В.,  
Лыу Т.Н., Строкова О.В. (RU)

(71) Заявитель:

ЭЛИ ЛИЛЛИ ЭНД КОМПАНИ (US)

(57) Предлагаются аналоги инкретина, которые обладают активностью в отношении каждого из рецепторов: GIP рецептора, GLP-1 рецептора и рецептора глюкагона. Указанные аналоги инкретина имеют структурные особенности, приводящие к сбалансированной активности и увеличенной продолжительности действия на каждый из этих рецепторов. Также предлагаются способы лечения таких заболеваний, как сахарный диабет, дислипидемия, жировая болезнь печени, метаболический синдром, неалкогольный стеатогепатит и ожирение.

202091290

A1

A1

202091290

## АНАЛОГИ ИНКРЕТИНА И ИХ ПРИМЕНЕНИЕ

Данное описание относится к аналогам инкретина, обладающим активностью в отношении каждого из следующих рецепторов: рецептора глюкозозависимого инсулинового полипептида (GIP - glucose-dependent insulinotropic polypeptide), рецептора глюкагоноподобного пептида-1 (GLP-1 - glucagon-like peptide-1) и рецептора глюкагона. Описанные в данном документе аналоги инкретина имеют структурные характеристики, которые обеспечивают сбалансированную активность и обладают увеличенной продолжительностью действия на каждый из этих рецепторов. Такие аналоги инкретина могут быть пригодны для лечения нарушений, таких как сахарный диабет 2 типа (СД2), дислипидемия, метаболический синдром, неалкогольная жировая болезнь печени (НАЖБП), неалкогольный стеатогепатит (НАСГ) и/или ожирение.

За последние несколько десятилетий распространенность диабета продолжает расти. СД2 является наиболее распространенной формой диабета, составляющей около 90% всех форм диабета. СД2 характеризуется высоким уровнем глюкозы в крови, вызванным резистентностью к инсулину. Существующий стандарт лечения СД2 включает диету и физические упражнения, а также лечение пероральными лекарственными средствами и инъекционными препаратами, снижающими уровень глюкозы, включая препараты на основе инкретина, такие как агонисты рецептора GLP-1.

GLP-1 представляет собой пептид из 36 аминокислот, основной биологически активный фрагмент которого продуцируется в виде C-концевого амидированного пептида из 30 аминокислот (GLP-1<sub>7-36</sub>; SEQ ID NO: 2), который стимулирует глюкозозависимую секрецию инсулина и предотвращает гипергликемию у пациентов с диабетом. В настоящее время доступны различные аналоги GLP-1 для лечения СД2, включая дулаглутид, экзенатид и лираглутид. Однако многие продаваемые в настоящее время агонисты рецептора GLP-1 являются дозоограниченными из-за побочных эффектов со стороны желудочно-кишечного тракта, таких как тошнота и рвота. Когда лечение пероральными лекарственными средствами и препаратами на основе инкретина является недостаточным, рассматривается возможность применения инсулина. Несмотря на доступные варианты лечения, значительное число пациентов, получающих одобренную терапию, не достигают целей относительно гликемического контроля (см., например, Casagrande et al. (2013) *Diabetes Care* 36: 2271-2279).

Неконтролируемый диабет может привести к одному или большему количеству состояний, которые влияют на заболеваемость и смертность таких индивидуумов. Одним из основных факторов риска развития СД2 является ожирение, и большинство индивидуумов с СД2 (~ 90%) имеют избыточный вес

5 или ожирение. Задокументировано, что снижение степени ожирения организма благоприятно влияет на ассоциированные с ожирением сопутствующие заболевания, включая гипергликемию и осложнения со стороны сердечно-сосудистой системы. Таким образом, для оптимизации лечебной тактики необходима терапия, являющаяся эффективной для контроля уровня глюкозы и

10 снижения веса.

Ввиду этого, новые изучаемые методы лечения включают соединения, обладающие не только активностью в отношении рецептора GLP-1, но также активностью в отношении одного или большего количества других рецепторов, таких как рецепторы GIP и/или рецепторы глюкагона. Фактически, некоторые

15 соединения были описаны как обладающие тройной агонистической активностью (то есть активностью в отношении каждого из рецепторов: GIP, GLP-1 и глюкагона). Например, в публикации международной патентной заявки № WO 2015/067716 описаны аналоги глюкагона, обладающие тройной агонистической активностью. Аналогично, в международной патентной заявке WO 2016/198624

20 описаны аналоги эксендина-4, который сам по себе является аналогом GLP-1 и обладает тройной агонистической активностью. Аналогично, в международных патентных заявках №№ WO 2014/049610 и WO 2017/116204 описан ряд аналогов, обладающих тройной агонистической активностью. Кроме того, в международной патентной заявке № WO 2017/153375 описаны ко-агонисты глюкагона и GLP-1,

25 которые также обладают активностью GIP.

Тем не менее, остается потребность в разработке способов лечения, особенно при СД2, которые будут способны обеспечить эффективный контроль за уровнем глюкозы с дополнительным преимуществом, заключающимся в потере веса, и благоприятным профилем побочных эффектов. Также существует потребность в терапевтических агентах, доступных для применения с достаточно увеличенной продолжительностью действия, чтобы получить возможность вводить дозу реже, например, один раз в сутки, три раза в неделю, два раза в неделю или один раз в неделю.

С помощью аналогов инкретина, описанных в данном документе, стремятся

35 удовлетворить потребности, указанные выше. Соответственно, в этом документе

описаны аналоги инкретина с активностью в отношении каждого из рецепторов: GIP, GLP-1 и глюкагона. Следовательно, описанные в данном документе аналоги инкретина обеспечивают преимущество, состоящее в сбалансированной активности, позволяющей вводить дозы, которые обеспечивают достаточную 5 активность каждого рецептора для получения пользы от агонизма этого рецептора, избегая при этом нежелательных побочных эффектов, связанных со слишком высокой активностью. Кроме того, описанные в данном документе аналоги инкретина характеризуются увеличенной продолжительностью действия на каждый из рецепторов: GIP, GLP-1 и глюкагона, что позволяет вводить их дозу 10 реже, например, один раз в сутки, три раза в неделю, два раза в неделю или один раз в неделю. Таким образом, аналоги инкретина приводят к усиленному контролю уровня глюкозы, благоприятным метаболическим эффектам, таким как снижение массы тела и/или улучшенный композиционный состав тела, благоприятному влиянию на липидный обмен, например, снижению уровня 15 пропротеин-конвертазы субтилизин/кексинового типа 9 (PCSK9), и/или другим преимуществам, таким как увеличение костной массы или образование костной ткани или уменьшение резорбции кости. В этом документе также описаны эффективные способы лечения других нарушений или патологических состояний, включая ожирение, НАЖБП, НАСГ, дислипидемию и/или нарушение обмена 20 веществ.

В одном варианте осуществления данного изобретения предлагается аналог инкретина, который включает формулу:

$\text{YX}_2\text{QGTFTSDYSIX}_{13}\text{LDKX}_{17}\text{AX}_{19}\text{X}_{20}\text{AFIEYLLX}_{28}\text{X}_{29}\text{GPSSX}_{34}\text{APPPS}$ , где  $\text{X}_2$  25 представляет собой Aib,  $\text{X}_{13}$  представляет собой L или αMeL,  $\text{X}_{17}$  представляет собой любую аминокислоту с функциональной группой, доступной для конъюгации, при этом функциональная группа конъюгирована с жирной кислотой  $\text{C}_{16}$  -  $\text{C}_{22}$ ,  $\text{X}_{19}$  представляет собой Q или A,  $\text{X}_{20}$  представляет собой Aib, αMeK, Q или H,  $\text{X}_{28}$  представляет собой E или A,  $\text{X}_{29}$  представляет собой G или Aib,  $\text{X}_{34}$  30 представляет собой G или Aib (SEQ ID NO: 5), а C-концевая аминокислота является необязательно амидированной, или его фармацевтически приемлемую соль.

В другом варианте осуществления данного изобретения предлагается способ 35 лечения заболевания, такого как дислипидемия, жировая болезнь печени, метаболический синдром, НАСГ, ожирение и СД2. Такие способы могут включать по меньшей мере этап введения индивидууму, нуждающемуся в этом,

эффективного количества аналога инкретина, описанного в данном документе. В некоторых случаях указанное заболевание представляет собой жировую болезнь печени, ожирение, НАСГ или СД2.

В другом варианте осуществления данного изобретения аналог инкретина, как описано в данном документе, предлагается для применения в терапии. Например, аналог инкретина, как описано в данном документе, предлагается для применения при лечении заболевания, такого как дислипидемия, жировая болезнь печени, метаболический синдром, НАСГ, ожирение и СД2. В некоторых случаях указанное заболевание представляет собой жировую болезнь печени, ожирение, НАСГ или СД2.

В другом варианте осуществления данного изобретения аналог инкретина, как описано в данном документе, предлагается для применения в изготовлении лекарственного средства для лечения дислипидемии, жировой болезни печени, метаболического синдрома, НАСГ, ожирения и СД2. В некоторых случаях указанное заболевание представляет собой жировую болезнь печени, ожирение, НАСГ или СД2.

В другом варианте осуществления данного изобретения предлагается фармацевтическая композиция, которая включает аналог инкретина, как описано в данном документе, и фармацевтически приемлемый носитель, разбавитель или вспомагательное вещество.

Если не указано иное, все технические и научные термины, применяемые в данном документе, имеют значения, совпадающие с общепринятыми среди специалистов в области техники, к которой относится данное изобретение. Несмотря на то, что любые методы и материалы, подобные или эквивалентные тем, которые описаны в данном документе, можно применять на практике или при тестировании аналогов инкретина, фармацевтических композиций и способов, в данном документе описаны предпочтительные способы и материалы.

Кроме того, упоминание элемента в единственном числе не исключает возможности присутствия более чем одного из элементов, если контекст явным образом не предполагает присутствия одного и только одного из элементов. Соответственно, термины в единственном числе обычно означают «по меньшей мере один».

GIP представляет собой пептид из 42 аминокислот (SEQ ID NO: 4) и является инкретином, который играет физиологическую роль в гомеостазе

глюкозы путем стимуляции секрецию инсулина бета-клеткамик поджелудочной железы в присутствии глюкозы.

GLP-1 представляет собой пептид из 36 аминокислот (SEQ ID NO: 2), а также является инкретином, который стимулирует глюкозозависимую секрецию 5 инсулина и который, как было продемонстрировано, предотвращает гипергликемию у пациентов с диабетом.

Глюкагон представляет собой пептид из 29 аминокислот (SEQ ID NO: 1), который помогает поддерживать уровень глюкозы в крови, связываясь и активируя рецепторы глюкагона на гепатоцитах, стимулируя печень высвобождать 10 глюкозу - хранящуюся в форме гликогена - посредством процесса, называемого гликогенолизом.

Оксинтомодулин (ОХМ) представляет собой пептид из 37 аминокислот, включающий не только последовательность из 29 аминокислот глюкагона, но также удлинение карбоксиконцевого конца октапептида (SEQ ID NO: 3), которое 15 активирует рецепторы как глюкагона, так и GLP-1, с несколько более высокой активностью по отношению к рецептору глюкагона по сравнению с рецептором GLP-1.

В дополнение к СД2, инкретины и их аналоги, обладающие активностью в отношении одного или большего количества рецепторов: GIP, GLP-1 и/или 20 глюкагона, были описаны как обладающие потенциалом для терапевтической ценности при ряде других патологических состояний, заболеваний или нарушений, включая например, ожирение, НАЖБП и НАСГ, дислипидемию, метаболический синдром, нарушения, связанные с костной тканью, болезнь Альцгеймера и болезнь Паркинсона. См., например, Jall *et al.* (2017) *Mol. Metab.* 6:440-446; Carbone *et al.* (2016) *J. Gastroenterol. Hepatol.* 31:23-31; Finan *et al.* 25 (2016) *Trends Mol. Med.* 22:359-376; Choi *et al.* (2017) *Potent body weight loss and efficacy in a NASH animal model by a novel long-acting GLP-1/Glucagon/GIP triple-agonist (HM15211)*, ADA Poster 1139-P; Ding (2008) *J. Bone Miner. Res.* 23:536-543; Tai *et al.* (2018) *Brain Res.* 1678:64-74; Müller *et al.* (2017) *Physiol. Rev.* 97:721-766; 30 Finan *et al.* (2013) *Sci. Transl. Med.* 5:209; Hölscher (2014) *Biochem. Soc. Trans.* 42: 593-600.

В данном контексте термин «около» означает показатель в пределах статистически значимого диапазона значения или значений, таких как, например, заявленная концентрация, длина, молекулярная масса, рН, идентичность 35 последовательности, временные рамки, температура или объем. Такое значение

или диапазон может быть в пределах порядка, обычно в пределах 20%, более типично в пределах 10% и даже более типично в пределах 5% от данного значения или диапазона. Допустимое отклонение, охватываемое термином «около», будет зависеть от конкретной исследуемой системы и может быть легко оценено специалистом в данной области техники.

В контексте данного документа и в отношении одного или большего количества рецепторов: GIP, GLP-1 или глюкагона, термин «активность», «активировать», «активирующий» и тому подобное означает активность соединения, например, описанных в данном документе аналогов инкретина, относительно связывания и индукции ответа у рецептора (ов), что измеряется с помощью анализов, известных в данной области техники, таких как анализы *in vitro*, описанные ниже.

В данном контексте термин «аминокислота с функциональной группой, доступной для конъюгации» означает любую природную или неприродную аминокислоту с функциональной группой, которая может быть конъюгирована с жирной кислотой посредством, например, линкера. Примеры таких функциональных групп включают, но не ограничиваются ими, алкинильную, алкенильную, амино-, азидо-, бром-, карбоксильную, хлорную, йодную и тиольную группы. Примеры природных аминокислот, содержащих такие функциональные группы, включают K (амино), C (тиол), E (карбоксил) и D (карбоксил).

В данном контексте термин «жирная кислота C<sub>16</sub> - C<sub>22</sub>» означает карбоновую кислоту, имеющую от 16 до 22 атомов углерода. Жирная кислота C<sub>16</sub> - C<sub>22</sub>, пригодная для применения по данному изобретению, может быть насыщенной монокислотой или насыщенной дикислотой. В данном контексте термин «насыщенная» означает, что жирная кислота не содержит углерод-углеродных двойных или тройных связей.

В данном контексте термин «эффективное количество» означает количество, концентрацию или дозу одного или большего количества аналогов инкретина, описанных в данном документе, или их фармацевтически приемлемую соль, которая при введении одной или большего количества доз индивидууму, нуждающемуся в этом, обеспечивает желаемый эффект в такого индивидуума в условиях диагностики или лечения. Эффективное количество может быть легко определено специалистом в данной области техники с помощью известных методов и путем наблюдения результатов, полученных при аналогичных обстоятельствах. При определении эффективного количества для индивидуума

рассматривается ряд факторов, включая, но не ограничиваясь этим: вид млекопитающего; его размер, возраст и общее состояние здоровья; специфическое заболевание или нарушение; степень или вовлечение, или тяжесть заболевания или нарушения; реакция отдельного пациента; определенный введенный аналог инкретина; способ введения; характеристики биодоступности вводимого препарата; выбранную схему введения; применение сопутствующих медикаментов; и другие соответствующие обстоятельства.

В данном контексте термин «увеличенная продолжительность действия» означает, что аффинность связывания и активность аналога инкретина сохраняется в течение периода времени, превышающего нативные пептиды GIP, GLP-1 и глюкагона человека, что позволяет вводить дозу реже, например, один раз в сутки, три раза в неделю, два раза в неделю или один раз в неделю. Профиль временного действия аналога инкретина можно измерить с помощью известных методов фармакокинетических анализов, таких как те, которые применяются в приведенных ниже примерах.

В данном контексте термин «аналог инкретина» означает соединение, имеющее структурное сходство с GIP, GLP-1 и глюкагоном, но с множественными отличиями от каждого из элементов: GIP, GLP-1 и глюкагона, особенно GIP (SEQ ID NO: 4), GLP-1 (SEQ ID NO: 2) и глюкагона (SEQ ID NO: 1) человека. Аналоги инкретина, описанные в данном документе, включают аминокислотные последовательности, приводящие к соединениям, обладающим аффинностью и активностью в отношении каждого из рецепторов: GIP, GLP-1 и глюкагона (то есть обладающие тройной агонистической активностью).

В данном контексте термин «индивидуум, нуждающийся в этом» означает млекопитающее, например, человека, имеющего патологическое состояние, заболевание, нарушение или симптом, требующий лечения или терапии, включая, например, перечисленные в данном документе.

В данном контексте термин «лечить», «лечение», «воздействовать» и тому подобное означает сдерживание, замедление, остановку или изменение прогрессирования или тяжести существующего патологического состояния, заболевания, нарушения или симптома.

В контексте данного документа и в отношении аналога инкретина, «тройная агонистическая активность» относится к аналогу инкретина с активностью в отношении каждого из рецепторов: GIP, GLP-1 и глюкагона, особенно аналогу, обладающему сбалансированной и достаточной активностью в отношении

каждого рецептора для получения пользы от агонизма этого рецептора, избегая при этом нежелательных побочных эффектов, связанных со слишком высокой активностью. Кроме того, аналоги инкретина, обладающие тройной агонистической активностью, имеют увеличенную продолжительность действия на 5 каждый из рецепторов: GIP, GLP-1 и глюкагона, что придает им преимущество, позволяющее вводить дозу реже, например, один раз в сутки, три раза в неделю, два раза в неделю или один раз в неделю.

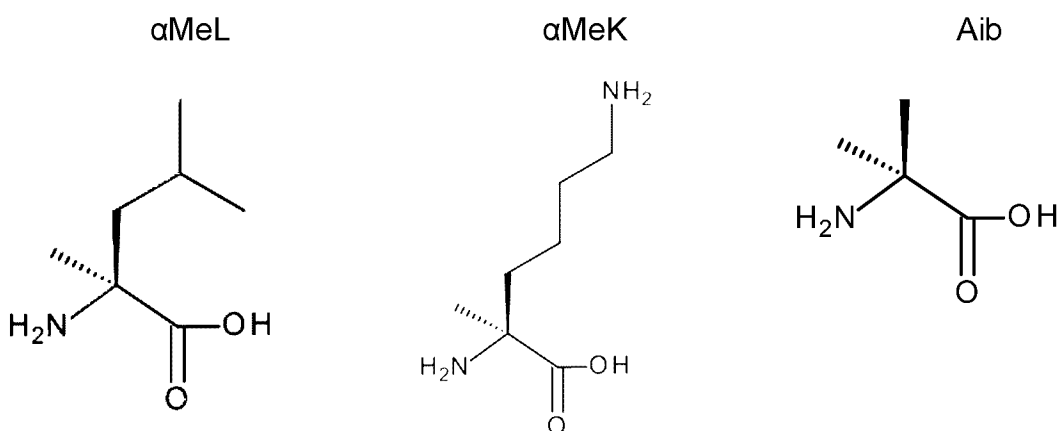
Структурные особенности аналогов инкретина, описанных в данном документе, приводят к тому, что аналоги обладают достаточной активностью в 10 отношении каждого из рецепторов: GIP, GLP-1 и глюкагона, с получением благоприятных эффектов активности в отношении каждого рецептора (то есть тройной агонистической активности), но не обладают такой степенью активности в отношении какого-либо одного рецептора, чтобы либо подавлять активность двух других рецепторов, либо приводить к нежелательным побочным эффектам при 15 введении в дозе, достаточной, чтобы быть активными в отношении всех трех рецепторов. Неограничивающие примеры таких структурных особенностей в определенных вариантах осуществления данного изобретения и со ссылкой на SEQ ID NO: 5 включают L или αMeL в положении 13, которые, как было обнаружено, способствуют оптимальной активности глюкагона и GIP; Aib в 20 положении 20, который, как было обнаружено, способствует оптимальной активности GIP; ацилирование в положении 17, которое, как было обнаружено, способствует оптимальной активности глюкагона; и Y в положении 25, который, как было обнаружено, способствует оптимальной активности глюкагона и/или GIP. Другие примеры таких структурных особенностей включают аминокислоты, 25 описанные в данном документе в положениях 22, 24 и 28-39, которые, как было обнаружено, способствуют оптимальному связыванию и эффективности всех трех рецепторов.

Структурные особенности аналогов инкретина, описанных в данном документе, также приводят к тому, что аналоги имеют много других полезных 30 свойств, относящихся к возможности их применения в качестве терапевтического лечения, в том числе для улучшения растворимости аналогов в водных растворах, улучшения стабильности химического и физического состава, расширения фармакокинетического профиля и минимизации потенциала для иммуногенности. Неограничивающие примеры конкретных структурных 35 особенностей, которые приводят к таким признакам, включают ацилирование в

положении 17 жирной кислотой C<sub>20</sub>, которое способствует оптимальным фармакокинетическим (ФК) профилям и проявляемости; Aib, αMeK, Q или H в положении 20, которые способствуют оптимальным профилям ФК и проявляемости; и положения аминокислот 22, 24 и 28-39, которые способствуют оптимальной ФК, иммуногенности, проявляемости и стабильности.

Следует отметить, что вышеприведенные перечни структурных особенностей являются типовыми, а не исчерпывающими, и что комбинация полезных характеристик типовых аналогов, описанных в данном документе, не является результатом какой-либо модификации в отдельности, а наоборот достигается с помощью новых комбинаций структурных особенностей, описанных в данном документе. Кроме того, вышеописанные эффекты вышеприведенных перечней модификаций не являются специфическими, так как многие из этих модификаций также имеют другие эффекты, важные для характеристик описанных в данном документе соединений, как описано ниже.

Аминокислотные последовательности аналогов инкретина, описанные в данном документе, включают встречающиеся в природе аминокислоты, обычно изображенные в данном документе с использованием стандартных однобуквенных кодов (например, L = лейцин), а также альфа-метилзамещенные остатки природных аминокислот (например, α-метиллейцин (αMeL) и α-метиллизин (αMeK)) и некоторые другие неприродные аминокислоты, такие как альфа-аминоизомасляная кислота (Aib). Структуры этих аминокислот изображены ниже:



Как отмечено выше, описанные в данном документе аналоги инкретина имеют структурные сходства с любым из нативных пептидов человека, но имеют много структурных отличий. Например, при сравнении с нативным GIP человека

(SEQ ID NO: 4), аналоги инкретина, описанные в данном документе, включают модификации в одном или большем количестве положений: 2, 3, 7, 13, 14, 17, 18-21, 23-25, 28-29 и 30-42. В некоторых случаях описанные в данном документе аналоги инкретина включают модификации аминокислот нативного GIP человека

5 (SEQ ID NO: 4) в каждом из положений 2, 3, 7, 13, 14, 17, 18, 20, 21, 23-25, 29 и 30-42. В некоторых случаях описанные в данном документе аналоги инкретина включают следующие модификации аминокислот: Aib в положении 2; Q в положении 3; T в положении 7; L или αMeL в положении 13; L в положении 14; модифицированный остаток K в положении 17, который модифицирован путем 10 конъюгирования с эпсилон-аминогруппой K - боковой цепи с жирной кислотой C<sub>16</sub> - C<sub>22</sub>, необязательно, с помощью линкера; A в положении 18; A в положении 21; I в положении 23; E в положении 24; Y в положении 25; G или Aib в положении 29; и замену аминокислот в положениях 30-42 аминокислотной последовательностью, 15 выбранной из GPSSGAPPPS (SEQ ID NO: 26) и GPSS-Aib-APPPS (SEQ ID NO: 27) (и укороченные аналоги хвоста). В других случаях описанные в данном документе аналоги инкретина также включают модификации в одном или большем количестве элементов: A в положении 19; αMeK, Aib или H в положении 20; и E в положении 28. В некоторых случаях описанные в данном документе аналоги инкретина являются амидированными. В дополнение к изменениям, описанным в 20 данном документе, аналоги инкретина, описанные в данном документе, могут включать одну или большее количество дополнительных модификаций аминокислот, при условии, что аналоги остаются способными связываться и активировать каждый из рецепторов: GIP, GLP-1 и receptor глюкагона.

Как отмечено выше, аналоги инкретина, описанные в данном документе, 25 включают фрагмент жирной кислоты, конъюгированный, например, посредством линкера с природной или неприродной аминокислотой с функциональной группой, доступной для конъюгации. Такую конъюгацию иногда называют ацилированием. В некоторых случаях аминокислота с функциональной группой, доступной для конъюгации, может представлять собой K, C, E и D. В конкретных случаях 30 аминокислота с функциональной группой, доступной для конъюгации, представляет собой K, при этом конъюгация происходит с эпсилон-амино группой K боковой цепи.

Ацилирование аналогов инкретина, описанных в данном документе, 35 происходит в положении 17 в SEQ ID NO: 5, которое было определено как оптимальное место для включения этой структуры. Жирная кислота и, в

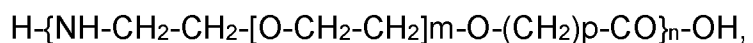
некоторых вариантах осуществления данного изобретения, линкер действуют как связующие агенты альбумина и обеспечивают потенциал для образования соединений с длительным действием.

В описанных в данном документе аналогах инкретина используется жирная кислота C<sub>16</sub> - C<sub>22</sub>, химически конъюгированная с функциональной группой аминокислоты либо посредством прямой связи, либо с помощью линкера. Длина и состав жирных кислот влияет на период полураспада аналогов инкретина, их эффективность в моделях на животных *in vivo*, а также на их растворимость и стабильность. Конъюгирование с насыщенной жирной монокислотой или дикислотой C<sub>16</sub> - C<sub>22</sub> приводит к получению аналогов инкретина, которые демонстрируют желательный период полураспада, желательную активность в моделях на животных *in vivo* и желательные характеристики растворимости и стабильности.

Примеры насыщенных жирных кислот C<sub>16</sub> - C<sub>22</sub> для применения в данном документе включают, но не ограничиваются ими, пальмитиновую кислоту (гексадекановую кислоту) (монокислоту C<sub>16</sub>), гексадекандионовую кислоту (дикислоту C<sub>16</sub>), маргариновую кислоту (гептадекановую кислоту) (монокислоту C<sub>17</sub>), гептадекандионовую кислоту (дикислоту C<sub>17</sub>), стеариновую кислоту (монокислоту C<sub>18</sub>), октадекандионовую кислоту (дикислоту C<sub>18</sub>), нонадециловую кислоту (неадекановую кислоту) (монокислоту C<sub>19</sub>), неадекандиевую кислоту (дикислоту C<sub>19</sub>), арахадиновую кислоту (эйкозановую кислоту) (монокислоту C<sub>20</sub>), эйкозанодиевую кислоту (дикислоту C<sub>20</sub>), генэйкозиловую кислоту (генэйкозановую кислоту) (монокислоту C<sub>21</sub>), генэйкозандиевую кислоту (дикислоту C<sub>21</sub>), бегеновую кислоту (докозановую кислоту) (монокислоту C<sub>22</sub>), докозандиевую кислоту (дикислоту C<sub>22</sub>), включая их разветвленные и замещенные производные.

В некоторых случаях жирная кислота C<sub>16</sub> - C<sub>22</sub> может представлять собой насыщенную монокислоту C<sub>18</sub>, насыщенную дикислоту C<sub>18</sub>, насыщенную монокислоту C<sub>19</sub>, насыщенную дикислоту C<sub>19</sub>, насыщенную монокислоту C<sub>20</sub>, насыщенный дикислоту C<sub>20</sub>, и их разветвленные и замещенные производные. В более конкретных случаях, жирной кислотой C<sub>16</sub> - C<sub>22</sub> может быть стеариновая кислота, арахадиновая кислота и эйкозандиевая кислота, особенно арахадиновая кислота.

В некоторых случаях линкер может содержать от одной до четырех аминокислот, аминополиэтиленгликолькарбоксилат или их смеси. В некоторых случаях аминополиэтиленгликолькарбоксилат имеет следующую структуру:



где  $m$  представляет собой любое целое число от 1 до 12,  $n$  представляет собой любое целое число от 1 до 12, а  $p$  равно 1 или 2.

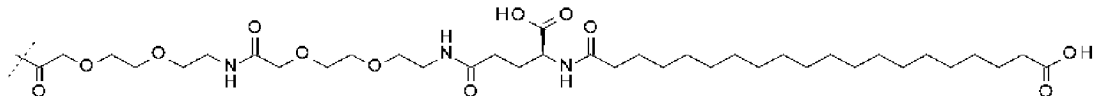
В некоторых случаях линкер может иметь один или большее количество фрагментов (2-[2-(2-амино-этокси)-этокси]-ацетил), необязательно в комбинации с одной - четырьмя аминокислотами.

В тех случаях, когда линкер включает по меньшей мере одну аминокислоту, указанная аминокислота может представлять собой от одного до четырех аминокислотных остатков Glu или  $\gamma$ Glu. В некоторых случаях линкер может включать один или два аминокислотных остатка Glu или  $\gamma$ Glu, включая их D-формы. Например, линкер может включать один или два аминокислотных остатка  $\gamma$ Glu. В альтернативном варианте линкер может включать от одного до четырех аминокислотных остатков (таких как, например, аминокислоты Glu или  $\gamma$ Glu), применяемых в комбинации с вплоть до тридцати шести фрагментами (2-[2-(2-амино-этокси)-этокси]-ацетил). В частности, линкер может представлять собой комбинации от одной до четырех аминокислот Glu или  $\gamma$ Glu и от одного до четырех фрагментов (2-[2-(2-амино-этокси)-этокси]-ацетил). В других случаях линкер может представлять собой комбинации одной или двух аминокислот  $\gamma$ Glu и одного или двух фрагментов (2-[2-(2-амино-этокси)-этокси]-ацетил).

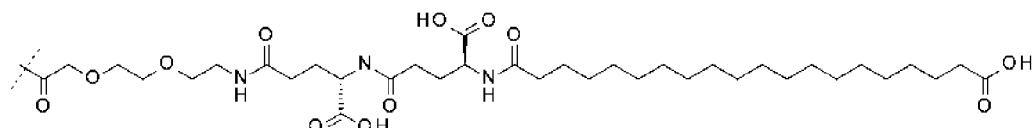
В конкретном случае аналоги инкретина, описанные в данном документе, содержат линкер и компоненты жирных кислот, имеющие структуру следующей формулы:



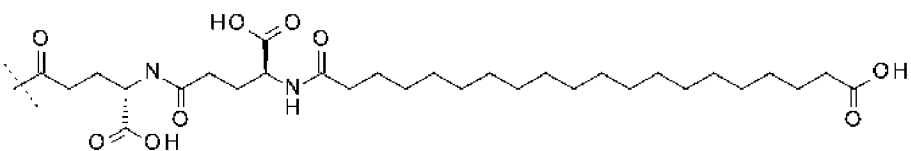
где  $a$  равно 0, 1 или 2,  $b$  равно 1 или 2 и  $c$  равно 16 или 18. В конкретном случае  $a$  равно 2,  $b$  равно 1 и  $c$  равно 18, структура которого изображена ниже:



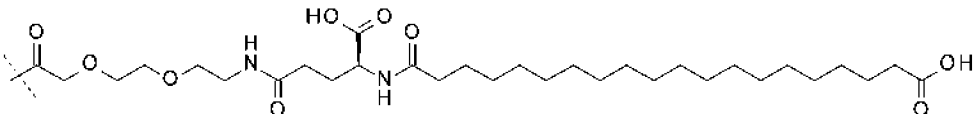
В другом конкретном случае  $a$  равно 1,  $b$  равно 2 и  $c$  равно 18, структура которого изображена ниже:



В другом конкретном случае  $a$  равно 0,  $b$  равно 2 и  $c$  равно 18, структура которого изображена ниже:



В другом конкретном случае а равно 1, б равно 1 и с равно 18, структура которого изображена ниже:



5       Как показано в химических структурах Примеров 1-20 ниже, фрагменты линкер-жирная кислота, описанные выше, могут быть связаны с эпсилон ( $\epsilon$ ) - аминогруппой боковой цепи лизина (К).

Аффинность аналогов инкретина, описанных в данном документе, к каждому из рецепторов: GIP, GLP-1 и рецептору глюкагона может быть измерена с 10 помощью методик, известных в данной области техники, для измерения уровней связывания с рецептором, включая, например, методики, описанные в приведенных ниже примерах, и обычно выражается в виде величины ингибирующей константы ( $K_i$ ). Активность аналогов инкретина, описанных в данном документе, для каждого из рецепторов также может быть измерена с 15 помощью методик, известных в данной области техники, включая, например, анализы активности *in vitro*, описанные ниже, и обычно выражается в виде величины эффективной концентрации 50 ( $EC_{50}$ ), которая представляет собой концентрацию соединения, вызывающую полумаксимальное моделирование на кривой доза-эффект.

20       Описанные в данном документе аналоги инкретина могут быть составлены в виде фармацевтических композиций, которые можно вводить парентеральным путем (например, под кожным, внутривенным, внутрибрюшинным, 25 внутримышечным или трансдермальным). Такие фармацевтические композиции и способы их приготовления хорошо известны в данной области техники. См., например, Remington: the Science and Practice of Pharmacy (D.B. Troy, Editor, 21<sup>st</sup> Edition, Lippincott, Williams & Wilkins, 2006). В отдельных случаях аналоги инкретина вводят под кожно.

30       Описанные в данном документе аналоги инкретина могут реагировать с любой (любым) из ряда неорганических и органических кислот/оснований с образованием фармацевтически приемлемых солей присоединения

кислот/оснований. Фармацевтически приемлемые соли и обычные способы их получения хорошо известны в данной области техники (см., например, Stahl *et al.*, *Handbook of Pharmaceutical Salts: Properties, Selection and Use*, 2<sup>nd</sup> Revised Edition (Wiley-VCH, 2011)). Фармацевтически приемлемые соли для применения в данном изобретении включают соли натрия, трифторацетаты, гидрохлориды и/или ацетаты.

В данном изобретении также предлагаются и, следовательно, охватываются новые промежуточные соединения и способы синтеза аналогов инкретина, описанных в данном документе, или их фармацевтически приемлемых солей. Промежуточные соединения и аналоги инкретина, описанные в данном документе, могут быть получены различными способами, известными в данной области техники. Например, в приведенных ниже Примерах иллюстрируется способ с применением химического синтеза. Конкретные этапы синтеза для каждого из описанных путей могут комбинироваться различными способами для получения аналогов инкретина, описанных в данном документе. Реагенты и исходные материалы легко доступны специалисту в данной области техники.

Определенные аналоги инкретина, описанные в данном документе, как правило, являются эффективными в широком диапазоне доз. Например, дозы для введения один раз в неделю могут находиться в диапазоне от около 0,01 мг/чел/нед до около 30 мг/чел/нед, в диапазоне от около 0,1 мг/чел/нед до около 10 мг/чел/нед или даже в диапазоне от около 0,1 мг/чел/нед до около 3 мг/чел/нед. Таким образом, аналоги инкретина, описанные в данном документе, можно вводить ежедневно, три раза в неделю, два раза в неделю или раз в неделю, в частности один раз в неделю.

Аналоги инкретина, описанные в данном документе, можно применять для лечения различных патологических состояний, нарушений, заболеваний или симптомов. В частности, предлагаются способы лечения СД2 у индивидуума, при этом такие способы включают по меньшей мере этап введения индивидууму, нуждающемуся в этом, эффективного количества аналога инкретина, описанного в данном документе, или его фармацевтически приемлемой соли.

Кроме того, предлагаются способы лечения ожирения у индивидуума, при этом такие способы включают по меньшей мере этап введения индивидууму, нуждающемуся в этом, эффективного количества аналога инкретина, описанного в данном документе, или его фармацевтически приемлемой соли.

Кроме того, предлагаются способы индуцирования нетерапевтической потери веса у индивидуума, при этом такие способы включают по меньшей мере этап введения индивидууму, нуждающемуся в этом, эффективного количества аналога инкретина, описанного в данном документе, или его фармацевтически приемлемой соли.

5

Кроме того, предлагаются способы лечения метаболического синдрома у индивидуума, при этом такие способы включают по меньшей мере этап введения индивидууму, нуждающемуся в этом, эффективного количества аналога инкретина, описанного в данном документе, или его фармацевтически приемлемой соли.

10

Кроме того, предлагаются способы лечения НАСГ у индивидуума, при этом такие способы включают по меньшей мере этап введения индивидууму, нуждающемуся в этом, эффективного количества аналога инкретина, описанного в данном документе, или его фармацевтически приемлемой соли.

15

Кроме того, предлагаются способы лечения НЖБП у индивидуума, при этом такие способы включают по меньшей мере этап введения индивидууму, нуждающемуся в этом, эффективного количества аналога инкретина, описанного в данном документе, или его фармацевтически приемлемой соли.

20

В этих способах эффективность аналогов инкретина можно оценить, например, наблюдая значительное снижение уровня глюкозы в крови, наблюдая значительное повышение уровня инсулина, наблюдая значительное снижение HbA1c и/или наблюдая значительное снижение массы тела.

25

В альтернативном варианте, описанные в данном документе аналоги инкретина или их фармацевтически приемлемые соли могут применяться для улучшения прочности кости у индивидуума, нуждающегося в этом. В некоторых случаях индивидуум, нуждающийся в этом, имеет гипостоз или гипостеидоз или получает лечение по поводу перелома кости, подвергается ортопедическим процедурам, протезированию, зубной имплантации и/или спондилодезу. Аналоги инкретина, описанные в данном документе, также можно применять для лечения других нарушений, таких как болезнь Паркинсона или болезнь Альцгеймера.

30

## СИНТЕЗ ПЕПТИДОВ

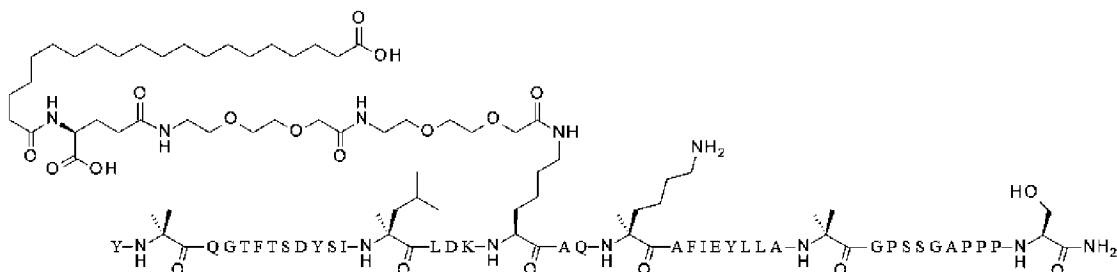
### Пример 1

35

Пример 1 представляет собой соединение, представленное следующим описанием:

Y-Aib-QGTFTSDYSI- $\alpha$ MeL-LDKK((2-[2-(2-амино-этокси)-этокси]-ацетил)<sub>2</sub>-( $\gamma$ Glu)-CO-(CH<sub>2</sub>)<sub>18</sub>-CO<sub>2</sub>H)AQ- $\alpha$ MeK-AFIEYLLA-Aib-GPSSGAPPS-NH<sub>2</sub> (SEQ ID NO:7).

Ниже приведено описание структуры соединения по Примеру 1 с использованием стандартных однобуквенных аминокислотных кодов, за исключением остатков Aib2,  $\alpha$ MeL13, K17,  $\alpha$ MeK20 и Aib29, где структуры этих аминокислотных остатков были расширены:



Пептидный каркас соединения по Примеру 1 синтезировали с применением химии флуорениметилоксикарбонила (Fmoc)/трет-бутила (t-Bu) на 12-канальном 10 синтезаторе пептидов Symphony Multiplex (Protein Technologies, Inc. Tucson, AZ).

Смола состоит из 1% сшитого полистирола DVB (смола низкой нагрузки Fmoc-Rink-MBHA, 100-200 меш, EMD Millipore) с замещением 0,3-0,4 мэкв/г. Применили стандартные защитные группы боковых цепей. Fmoc-Lys(Mtt)-OH применяли для лизина в положении 17, а Fmoc-Tyr(tBu)-OH применяли для 15 тирозина в положении 1. Группы Fmoc удаляли перед каждым этапом сочетания (2 × 7 минут), используя 20% пиперидин в ДМФА. Все стандартные сочетания аминокислот проводили в течение 1 часа с первичным амином и в течение 3 часов - со вторичным амином с применением равного молярного соотношения аминокислоты Fmoc (0,3 мМ), дизопропилкарбодиимида (0,9 мМ) и Охута (0,9 мМ) при 9-кратном молярном избытке по сравнению с теоретической пептидной 20 нагрузкой. Исключением являлись сочетания с  $\alpha$ -метилированными аминокислотами, сочетания с которыми проводили в течение 3 часов. После завершения синтеза пептидного каркаса смолу 6 раз тщательно промывали 25 дихлорметаном (ДХМ) для удаления остаточного ДМФА. Защитную группу Mtt на лизине в положении 17 селективно удаляли из пептидной смолы с помощью двух обработок 30% гексафторизопропанолом (Oakwood Chemicals) в ДХМ (2 × 40-минутная обработка).

Последующее присоединение фрагмента жирная кислота-линкер осуществляли путем сочетания 2- [2-(2-Fmoc-амино-этокси)-этокси]-уксусной 30 кислоты (Fmoc-AEEA-OH, ChemPep, Inc.),  $\alpha$ -трет-бутилового эфира Fmoc-

глутаминовой кислоты (Fmoc-Glu-OtBu, Ark Pharm, Inc.), моно-OtBu-эйкозанодиевой кислоты (WuXi AppTec, Shanghai, China). 3-кратный избыток реагентов (AA: PyAOP: DIPEA = 1:1:1 моль/моль) применяли для каждого сочетания, которое длилось в течение 1 часа.

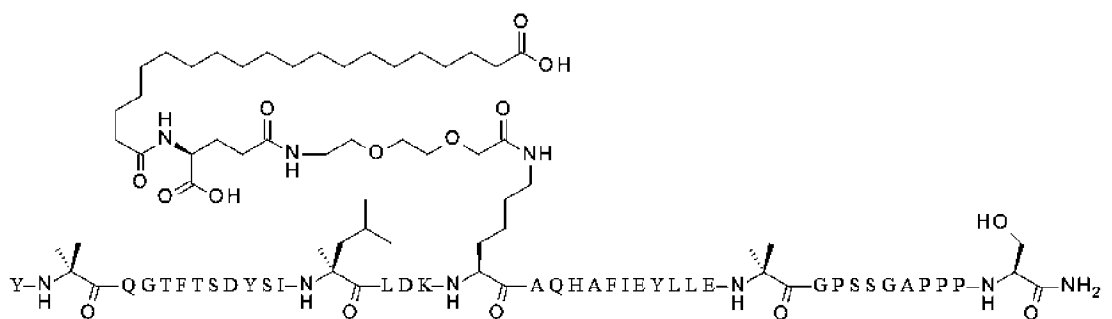
5        После завершения синтеза пептидную смолу промывали ДЭМ и затем тщательно высушивали на воздухе. Сухую смолу обрабатывали 10 мл коктейля для расщепления (трифторуксусная кислота : вода: триизопропилсилан, 95 : 2,5 : 2,5 об/об) в течение 2 часов при комнатной температуре. Смолу отфильтровывали, дважды промывали чистой трифторуксусной кислотой (ТФУК),  
10      и объединенные фильтраты обрабатывали холодным диэтиловым эфиром (-20°C) для осаждения неочищенного пептида. Затем пептидно/эфирную суспензию центрифугировали при 3500 об/мин с образованием твердого осадка, сцеживали супернатант, а твердый осадок растирали с эфиром два (2) дополнительных раза и сушили в вакууме. Неочищенный пептид растворяли в 20% ацетонитрила/20%  
15      уксусной кислоты/60% воды и очищали с помощью ОФ-ВЭЖХ на препаративной колонке Luna 5 мкм с фенилгексилом (21 x 250 мм, Phenomenex) с линейными градиентами 100% ацетонитрила и буферной системой 0,1% ТФУК/вода (30-50% ацетонитрила в течение 60 минут). Чистоту пептида оценивали с помощью аналитической ОФ-ВЭЖХ, а критерии объединения составлял > 95%.  
20      Обнаружено, что чистота основного пула в Примере 1 составляет 98,8%. В результате последующей лиофилизации конечного основного пула продуктов получали лиофилизированную ТФУ соль пептида. Молекулярную массу определяли методом ЖХ-МС (набл: M+4H+/4 = 1226,8; расч M+4H+/4 = 1226,9).

25      Пример 2

Пример 2 представляет собой соединение, представленное следующим описанием:

Y-Aib-QGTFTSDYSI- $\alpha$ MeL-LDKK((2-[2-(2-амино-этокси)-этокси]-ацетил)-(γGlu)-CO-(CH<sub>2</sub>)<sub>18</sub>-CO<sub>2</sub>H)AQHAFIEYLLA-Aib-GPSSGAPPPS-NH<sub>2</sub> (SEQ ID NO: 6).

30      Ниже приведено изображение структуры Примера 2 с использованием стандартных однобуквенных аминокислотных кодов, за исключением остатков Aib2,  $\alpha$ MeL13, K17 и Aib29, где структуры этих аминокислотных остатков были расширены:



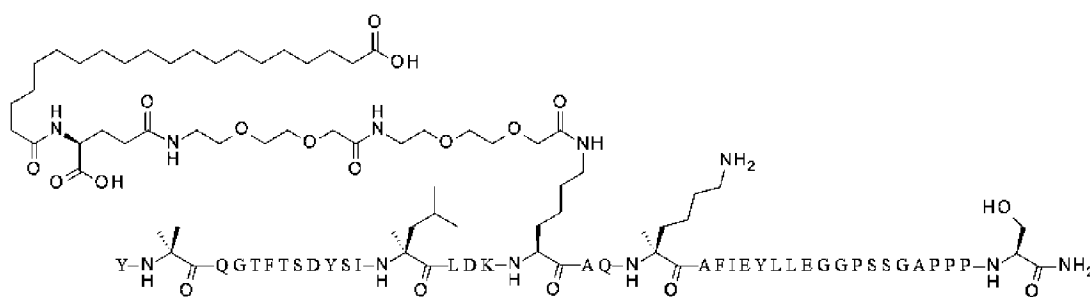
Для синтеза пептидного каркаса, для конъюгирования фрагмента жирная кислота-линкер, проверки чистоты и для подтверждения молекулярной массы соединения по Примеру 2 применяли процессы, аналогичные описанным выше  
5 для Примера 1.

### Пример 3

Пример 3 представляет собой соединение, представленное следующим описанием:

5 Y-Aib-QGTFTSDYSI- $\alpha$ MeL-LDKK((2-[2-(2-амино-этокси)-этокси]-ацетил)<sub>2</sub>-( $\gamma$ Glu)-CO-(CH<sub>2</sub>)<sub>18</sub>-CO<sub>2</sub>H)AQ- $\alpha$ MeK-AFIEYLLEGGPSSGAPPPS-NH<sub>2</sub> (SEQ ID NO: 8).

Ниже приведено изображение структуры соединения по Примеру 3 с использованием стандартных однобуквенных аминокислотных кодов, за исключением остатков Aib2,  $\alpha$ MeL13, K17 и  $\alpha$ MeK20, где структуры этих аминокислотных остатков были расширены:



10

Для синтеза пептидного каркаса, для конъюгирования фрагмента жирная кислота-линкер, проверки чистоты и для подтверждения молекулярной массы соединения по Примеру 3 применяли процессы, аналогичные описанным выше для Примера 1.

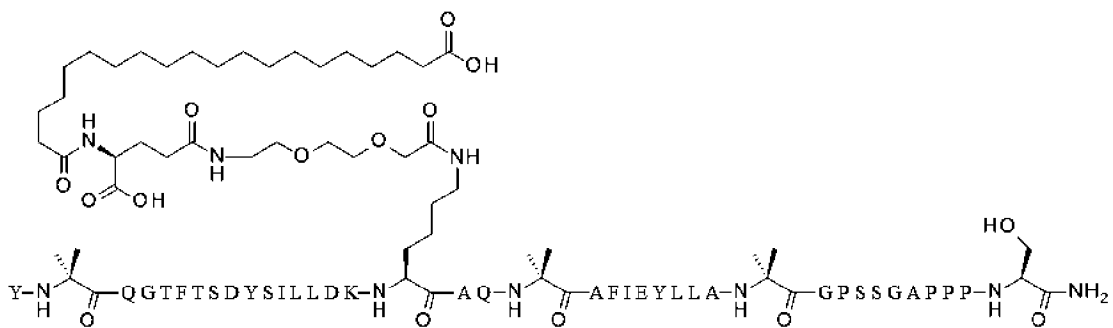
15

### Пример 4

Пример 4 представляет собой соединение, представленное следующим описанием:

20 Y-Aib-QGTFTSDYSILLDKK((2-[2-(2-амино-этокси)-этокси]-ацетил)-( $\gamma$ Glu)-CO-(CH<sub>2</sub>)<sub>18</sub>-CO<sub>2</sub>H)AQ-Aib-AFIEYLLA-Aib-GPSSGAPPPS-NH<sub>2</sub> (SEQ ID NO:9).

Ниже приведено изображение структуры соединения по Примеру 4 с использованием стандартных однобуквенных аминокислотных кодов, за исключением остатков Aib2, K17, Aib20 и Aib29, где структуры этих аминокислотных остатков были расширены:



Для синтеза пептидного каркаса, для конъюгирования фрагмента жирная кислота-линкер, проверки чистоты и для подтверждения молекулярной массы соединения по Примеру 4 применяли процессы, аналогичные описанным выше

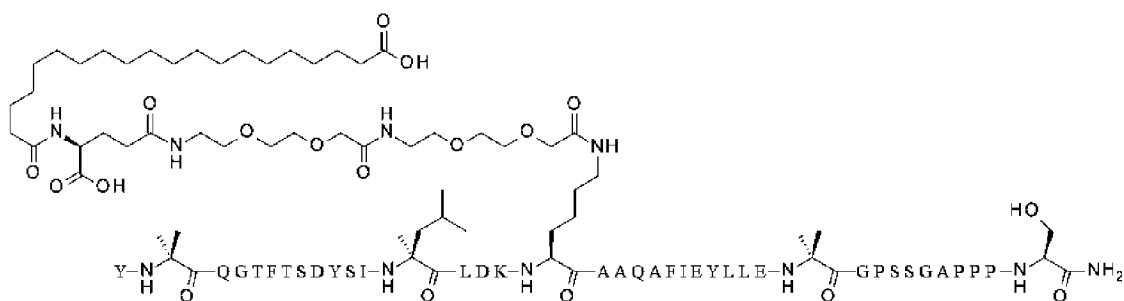
5 для Примера 1.

#### Пример 5

Пример 5 представляет собой соединение, представленное следующим описанием:

10 Y-Aib-QGTFTSDYSI- $\alpha$ MeL-LDKK((2-[2-(2-амино-этокси)-этокси]-ацетил)<sub>2</sub>-( $\gamma$ Glu)-CO-(CH<sub>2</sub>)<sub>18</sub>-CO<sub>2</sub>H)AAQAFIEYLLE-Aib-GPSSGAPPPS-NH<sub>2</sub> (SEQ ID NO: 10).

Ниже приведено изображение структуры соединения по Примеру 5 с использованием стандартных однобуквенных аминокислотных кодов, за исключением остатков Aib2,  $\alpha$ MeL13, K17 и Aib29, где структуры этих 15 аминокислотных остатков были расширены:



Для синтеза пептидного каркаса, для конъюгирования фрагмента жирная кислота-линкер, для проверки чистоты и для подтверждения молекулярной массы соединения по Примеру 5 применяли процессы, аналогичные описанным выше

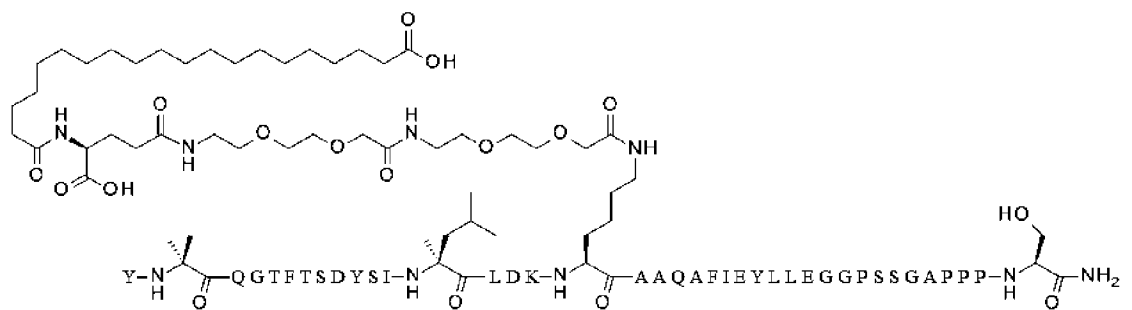
20 для Примера 1.

#### Пример 6

Пример 6 представляет собой соединение, представленное следующим описанием:

Y-Aib-QGTFTSDYSI- $\alpha$ MeL-LDKK((2-[2-(2-амино-этокси)-этокси]-ацетил)<sub>2</sub>-( $\gamma$ Glu)-CO-(CH<sub>2</sub>)<sub>18</sub>-CO<sub>2</sub>H)AAQAFIEYLLEGGPSSGAPPPS-NH<sub>2</sub> (SEQ ID NO: 11).

Ниже приведено изображение структуры соединения по Примеру 6 с использованием стандартных однобуквенных аминокислотных кодов, за исключением остатков Aib2,  $\alpha$ MeL13 и K17, где структуры этих аминокислотных остатков были расширены:



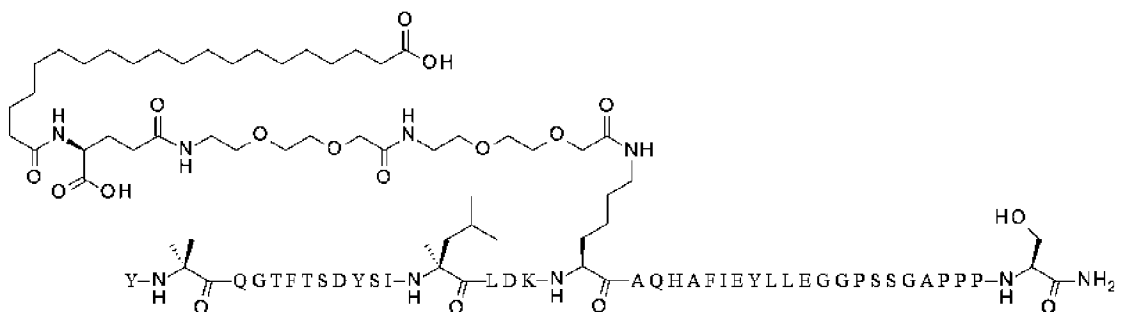
Для синтеза пептидного каркаса, для конъюгирования фрагмента жирная кислота-линкер, для проверки чистоты и для подтверждения молекулярной массы соединения по Примеру 6 применяли процессы, аналогичные описанным выше для Примера 1.

### Пример 7

Пример 7 представляет собой соединение, представленное следующим описанием:

Y-Aib-QGTFTSDYSI- $\alpha$ MeL-LDKK((2-[2-(2-амино-этокси)-этокси]-ацетил)<sub>2</sub>-( $\gamma$ Glu)-CO-(CH<sub>2</sub>)<sub>18</sub>-CO<sub>2</sub>H)AQHAFIEYLLEGGPSSGAPPPS-NH<sub>2</sub> (SEQ ID NO: 12).

Ниже приведено изображение структуры соединения по Примеру 7 с использованием стандартных однобуквенных аминокислотных кодов, за исключением остатков Aib2,  $\alpha$ MeL13 и K17, где структуры этих аминокислотных остатков были расширены:



Для синтеза пептидного каркаса, для конъюгирования фрагмента жирная кислота-линкер, для проверки чистоты и для подтверждения молекулярной массы

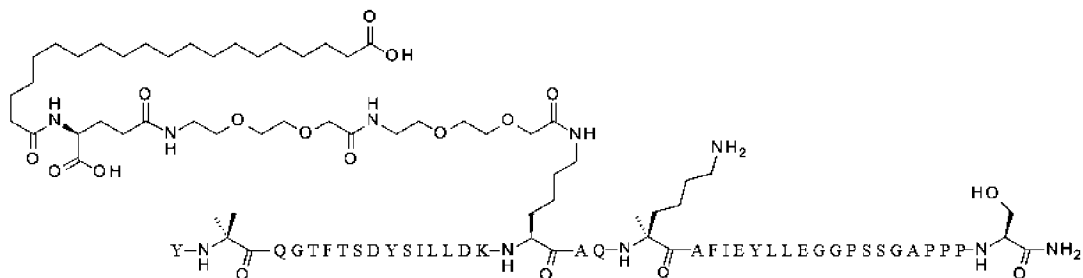
соединения по Примеру 7 применяли процессы, аналогичные описанным выше для Примера 1.

### Пример 8

5 Пример 8 представляет собой соединение, представленное следующим описанием:

Y-Aib-QGTFTSDYSILLDKK((2-[2-(2-амино-этокси)-этокси]-ацетил)<sub>2</sub>-(γGlu)-CO-(CH<sub>2</sub>)<sub>18</sub>-CO<sub>2</sub>H)AQ-αMeK-AFIEYLLEGGPSSGAPPPS-NH<sub>2</sub> (SEQ ID NO: 13).

Ниже приведено изображение структуры соединения по Примеру 8 с использованием стандартных однобуквенных аминокислотных кодов Aib2, K17 и аМеK20, где структуры этих аминокислотных остатков были расширены:



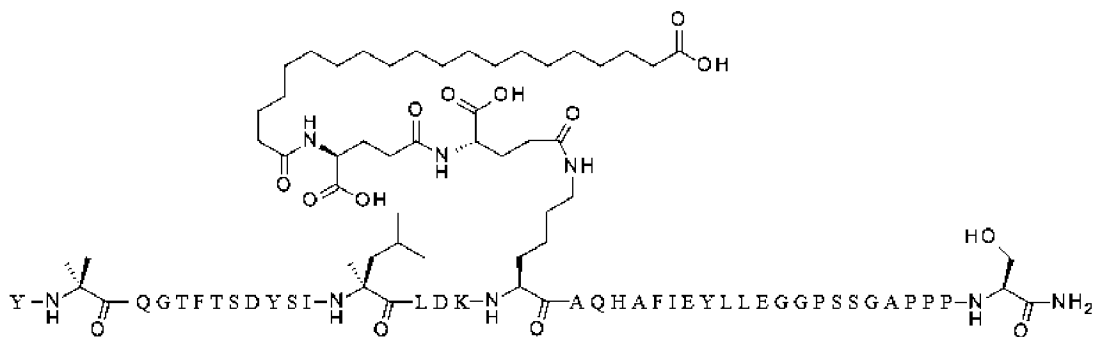
Для синтеза пептидного каркаса, для конъюгирования фрагмента жирная кислота-линкер, для проверки чистоты и для подтверждения молекулярной массы соединения по Примеру 8 применяли процессы, аналогичные описанным выше для Примера 1.

### Пример 9

Пример 9 представляет собой соединение, представленное следующим описанием:

Y-Aib-QGTFTSDYSI- $\alpha$ MeL-LDKK( $(\gamma$ Glu)<sub>2</sub>-CO-(CH<sub>2</sub>)<sub>18</sub>-CO<sub>2</sub>H)AQHAFIEYLLEGGPSSGAPPPS-NH<sub>2</sub> (SEQ ID NO: 14).

Ниже приведено изображение структуры соединения по Примеру 9 с использованием стандартных однобуквенных аминокислотных кодов, за исключением остатков Aib2,  $\alpha$ MeL13 и K17, где структуры этих аминокислотных остатков были расширены:



Для синтеза пептидного каркаса, для конъюгирования фрагмента жирная кислота-линкер, для проверки чистоты и для подтверждения молекулярной массы соединения по Примеру 9 применяли процессы, аналогичные описанным выше

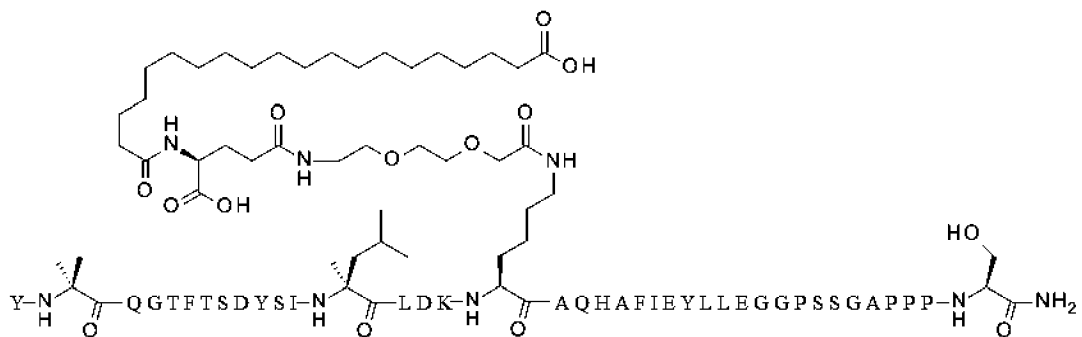
5 для Примера 1.

#### Пример 10

Пример 10 представляет собой соединение, представленное следующим описанием:

- 10 Y-Aib-QGTFTSDYSI- $\alpha$ MeL-LDKK((2-[2-(2-амино-этокси)-этокси]-ацетил)-(γGlu)-CO-(CH<sub>2</sub>)<sub>18</sub>-CO<sub>2</sub>H)AQHAFIEYLLEGGPSSGAPPPS-NH<sub>2</sub> (SEQ ID NO: 15).

Ниже приведено изображение структуры соединения по Примеру 10 с использованием стандартных однобуквенных аминокислотных кодов, за исключением остатков Aib2,  $\alpha$ MeL13 и K17, где структуры этих аминокислотных остатков были расширены:



Для синтеза пептидного каркаса, для конъюгирования фрагмента жирная кислота-линкер, для проверки чистоты и для подтверждения молекулярной массы соединения по Примеру 10 применяли процессы, аналогичные описанным выше

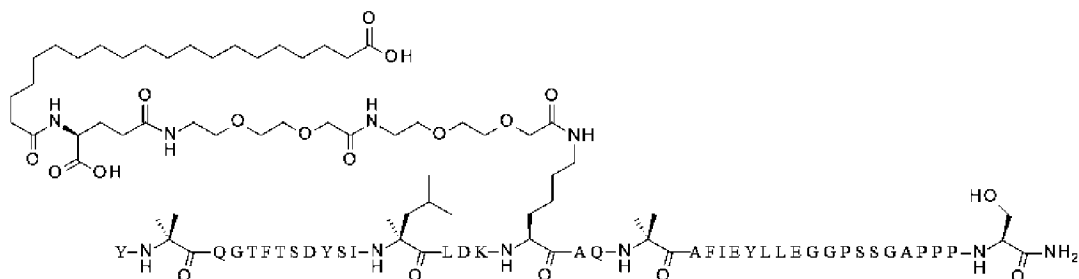
20 для Примера 1.

#### Пример 11

Пример 11 представляет собой соединение, представленное следующим описанием:

Y-Aib-QGTFTSDYSI- $\alpha$ MeL-LDKK((2-[2-(2-амино-этокси)-этокси]-ацетил)2-( $\gamma$ Glu)-CO-(CH<sub>2</sub>)<sub>18</sub>-CO<sub>2</sub>H)AQ-Aib-AFIEYLLEGGPSSGAPPS-NH<sub>2</sub> (SEQ ID NO: 16).

5 Ниже приведено изображение структуры Примера 11 с использованием стандартных однобуквенных аминокислотных кодов, за исключением остатков Aib2,  $\alpha$ MeL13, K17 и Aib20, где структуры этих аминокислотных остатков были расширены:



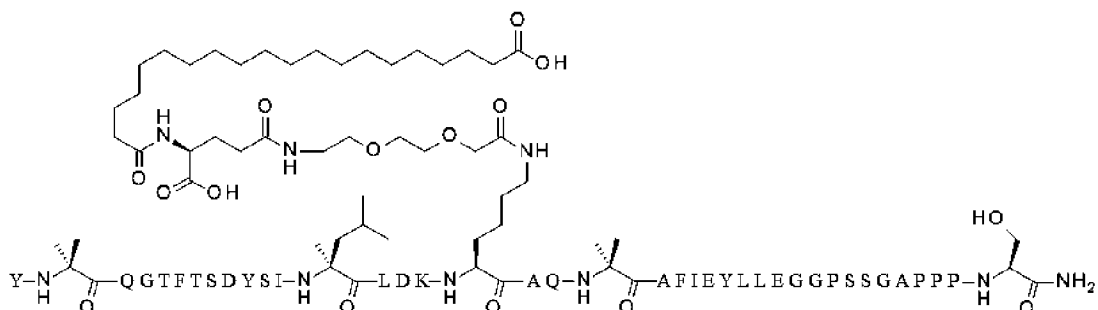
10 Для синтеза пептидного каркаса, для конъюгирования фрагмента жирная кислота-линкер, для проверки чистоты и для подтверждения молекулярной массы соединения по Примеру 11 применяли процессы, аналогичные описанным выше для Примера 1.

15 Пример 12

Пример 12 представляет собой соединение, представленное следующим описанием:

Y-Aib-QGTFTSDYSI- $\alpha$ MeL-LDKK((2-[2-(2-амино-этокси)-этокси]-ацетил)-( $\gamma$ Glu)-CO-(CH<sub>2</sub>)<sub>18</sub>-CO<sub>2</sub>H)AQ-Aib-AFIEYLLEGGPSSGAPPS-NH<sub>2</sub> (SEQ ID NO: 17).

20 Ниже приведено изображение структуры Примера 12 с использованием стандартных однобуквенных аминокислотных кодов, за исключением остатков Aib2,  $\alpha$ MeL13, K17 и Aib20, где структуры этих аминокислотных остатков были расширены:



Для синтеза пептидного каркаса, для конъюгирования фрагмента жирная кислота-линкер, для проверки чистоты и для подтверждения молекулярной массы соединения по Примеру 12 применяли процессы, аналогичные описанным выше для Примера 1.

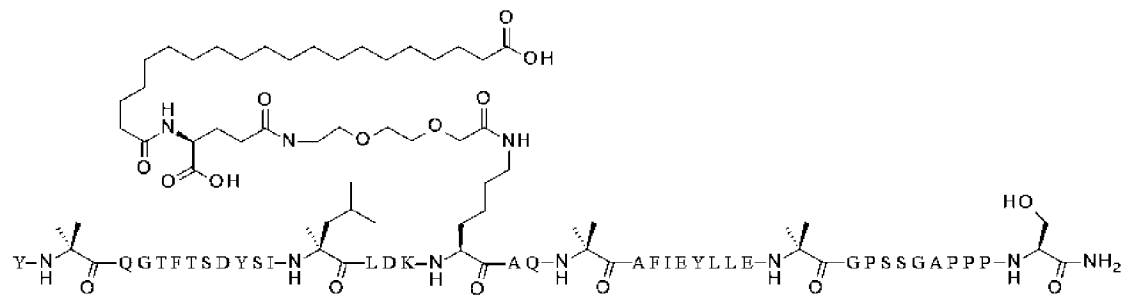
5

### Пример 13

Пример 13 представляет собой соединение, представленное следующим описанием:

Y-Aib-QGTFTSDYSI- $\alpha$ MeL-LDKK((2-[2-(2-амино-этокси)-этокси]-ацетил)-(γGlu)-CO-(CH<sub>2</sub>)<sub>18</sub>-CO<sub>2</sub>H)AQ-Aib-AFIEYLLE-Aib-GPSSGAPPPS-NH<sub>2</sub> (SEQ ID NO: 18).

Ниже приведено изображение структуры Примера 13 с использованием стандартных однобуквенных аминокислотных кодов, за исключением остатков Aib2,  $\alpha$ MeL13, K17, Aib20 и Aib29, где структуры этих аминокислотных остатков были расширены:



15

Для синтеза пептидного каркаса, для конъюгирования фрагмента жирная кислота-линкер, для проверки чистоты и для подтверждения молекулярной массы соединения по Примеру 13 применяли процессы, аналогичные описанным выше для Примера 1.

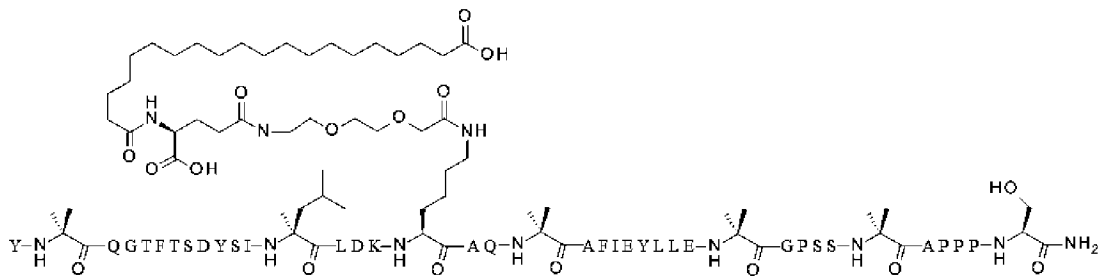
20

### Пример 14

Пример 14 представляет собой соединение, представленное следующим описанием:

Y-Aib-QGTFTSDYSI- $\alpha$ MeL-LDKK((2-[2-(2-амино-этокси)-этокси]-ацетил)-(γGlu)-CO-(CH<sub>2</sub>)<sub>18</sub>-CO<sub>2</sub>H)AQ-Aib-AFIEYLLE-Aib-GPSS-Aib-APPPS-NH<sub>2</sub> (SEQ ID NO: 19).

Ниже приведено изображение структуры Примера 14 с использованием стандартных однобуквенных аминокислотных кодов, за исключением остатков Aib2,  $\alpha$ MeL13, K17, Aib20 и Aib29, где структуры этих аминокислотных остатков были расширены:



Для синтеза пептидного каркаса, для конъюгирования фрагмента жирная кислота-линкер, для проверки чистоты и для подтверждения молекулярной массы соединения по Примеру 14 применяли процессы, аналогичные описанным выше

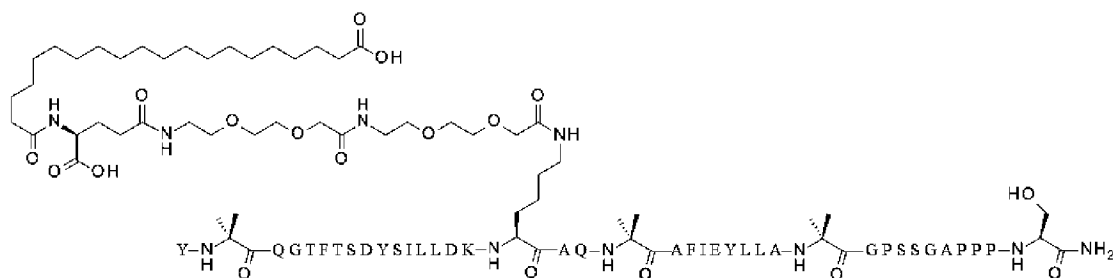
5 для Примера 1.

### Пример 15

Пример 15 представляет собой соединение, представленное следующим описанием:

10 Y-Aib-QGTFTSDYSILDKK((2-[2-(2-амино-этокси)-этокси]-ацетил)2-(γGlu)-CO-(CH<sub>2</sub>)<sub>18</sub>-CO<sub>2</sub>H)AQ-Aib-AFIEYLLA-Aib-GPSSGAPPPS-NH<sub>2</sub> (SEQ ID NO: 20).

Ниже приведено изображение структуры соединения по Примеру 15 с использованием стандартных однобуквенных аминокислотных кодов, за исключением остатков Aib2, K17, Aib20 и Aib29, где структуры этих 15 аминокислотных остатков были расширены:



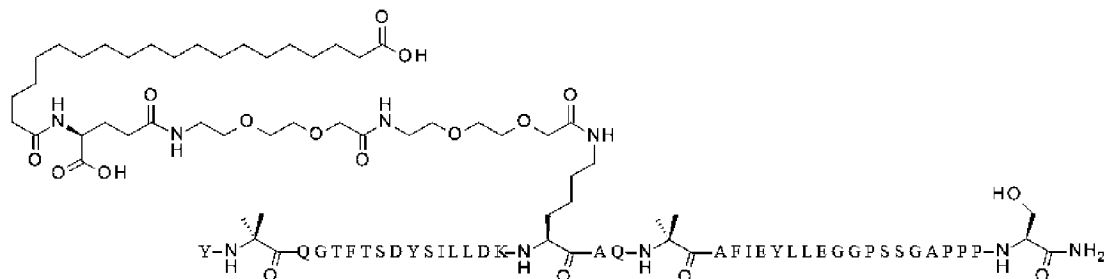
Для синтеза пептидного каркаса, для конъюгирования фрагмента жирная кислота-линкер, для проверки чистоты и для подтверждения молекулярной массы соединения по Примеру 15 применяли процессы, аналогичные описанным выше 20 для Примера 1.

### Пример 16

Пример 16 представляет собой соединение, представленное следующим описанием:

25 Y-Aib-QGTFTSDYSILDKK((2-[2-(2-амино-этокси)-этокси]-ацетил)2-(γGlu)-CO-(CH<sub>2</sub>)<sub>18</sub>-CO<sub>2</sub>H)AQ-Aib-AFIEYLLEGGGPSSGAPPPS-NH<sub>2</sub> (SEQ ID NO: 21).

Ниже приведено изображение структуры Примера 16 с использованием стандартных однобуквенных аминокислотных кодов, за исключением остатков Aib2, K17 и Aib20, где структуры этих аминокислотных остатков были расширены:



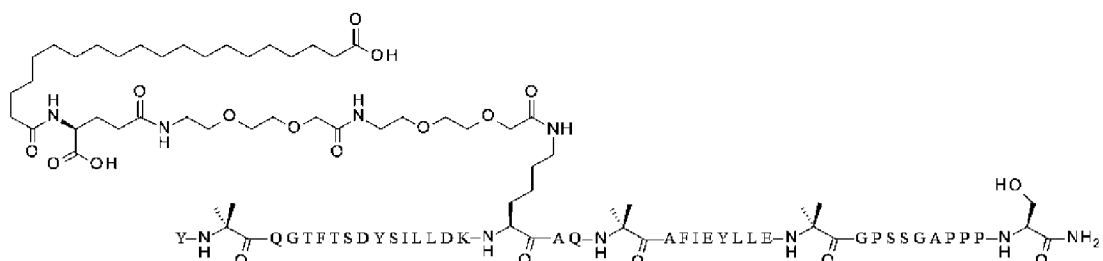
5 Для синтеза пептидного каркаса, для конъюгирования фрагмента жирная кислота-линкер, для проверки чистоты и для подтверждения молекулярной массы соединения по Примеру 16 применяли процессы, аналогичные описанным выше для Примера 1.

10 Пример 17

Пример 17 представляет собой соединение, представленное следующим описанием:

Y-Aib-QGTFTSDYSILDK((2-[2-(2-амино-этокси)-этокси]-ацетил)2-( $\gamma$ Glu)-CO-(CH<sub>2</sub>)<sub>18</sub>-CO<sub>2</sub>H)AQ-Aib-AFIEYLLE-Aib-GPSSGAPPPS-NH<sub>2</sub> (SEQ ID NO: 22).

15 Ниже приведено изображение структуры соединения по Примеру 17 с использованием стандартных однобуквенных аминокислотных кодов, за исключением остатков Aib2, K17, Aib20 и Aib29, где структуры этих аминокислотных остатков были расширены:



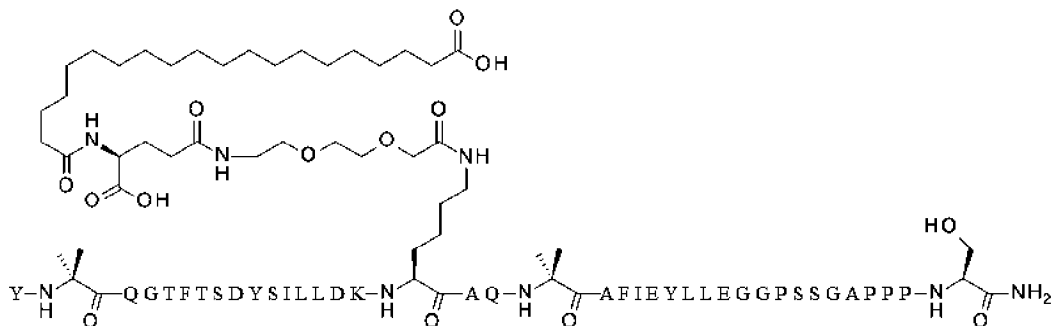
20 Для синтеза пептидного каркаса, для конъюгирования фрагмента жирная кислота-линкер, для проверки чистоты и для подтверждения молекулярной массы соединения по Примеру 17 применяли процессы, аналогичные описанным выше для Примера 1.

25 Пример 18

Пример 18 представляет собой соединение, представленное следующим описанием:

Y-Aib-QGTFTSDYSILDKK((2-[2-(2-амино-этокси)-этокси]-ацетил)-(γGlu)-CO-(CH<sub>2</sub>)<sub>18</sub>-CO<sub>2</sub>H)AQ-Aib-AFIEYLLEGGPSSGAPPPS-NH<sub>2</sub> (SEQ ID NO: 23).

5 Ниже приведено изображение структуры Примера 18 с использованием стандартных однобуквенных аминокислотных кодов, за исключением остатков Aib2, K17 и Aib20, где структуры этих аминокислотных остатков были расширены:



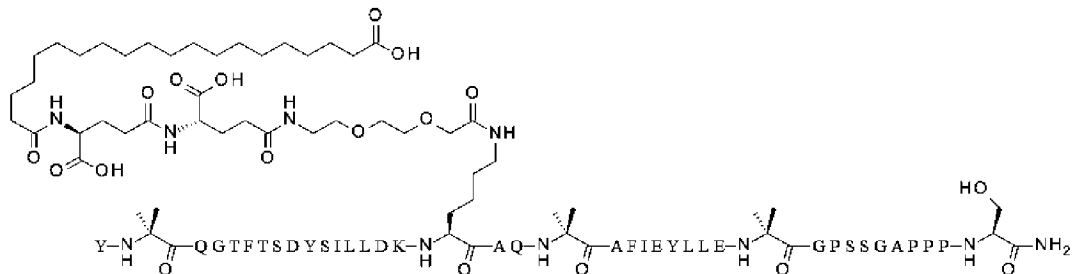
10 Для синтеза пептидного каркаса, для конъюгирования фрагмента жирная кислота-линкер, для проверки чистоты и для подтверждения молекулярной массы соединения по Примеру 18 применяли процессы, аналогичные описанным выше для Примера 1.

### Пример 19

15 Пример 19 представляет собой соединение, представленное следующим описанием:

Y-Aib-QGTFTSDYSILDKK((2-[2-(2-амино-этокси)-этокси]-ацетил)-(γGlu)<sub>2</sub>-CO-(CH<sub>2</sub>)<sub>18</sub>-CO<sub>2</sub>H)AQ-Aib-AFIEYLLE-Aib-GPSSGAPPPS-NH<sub>2</sub> (SEQ ID NO: 24).

20 Ниже приведено изображение структуры соединения по Примеру 19 с использованием стандартных однобуквенных аминокислотных кодов, за исключением остатков Aib2, K17, Aib20 и Aib29, где структуры этих аминокислотных остатков были расширены:



Для синтеза пептидного каркаса, для конъюгирования фрагмента жирная кислота-линкер, для проверки чистоты и для подтверждения молекулярной массы соединения по Примеру 19 применяли процессы, аналогичные описанным выше для Примера 1.

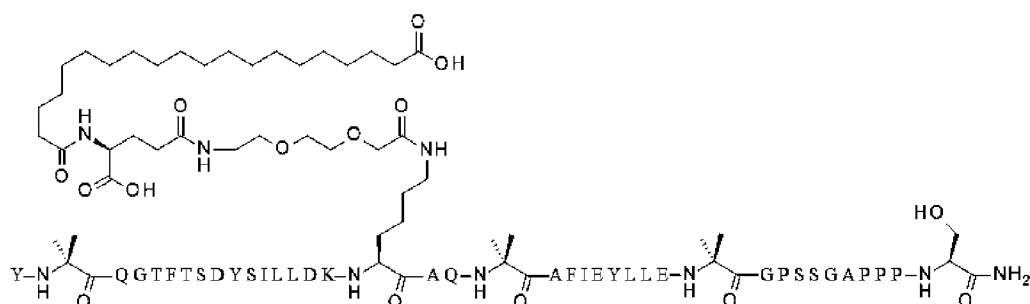
5

### Пример 20

Пример 20 представляет собой соединение, представленное следующим описанием:

10 Y-Aib-QGTFTSDYSILLDKK((2-[2-(2-амино-этокси)-этокси]-ацетил)-(γGlu)-CO-(CH<sub>2</sub>)<sub>18</sub>-CO<sub>2</sub>H)AQ-Aib-AFIEYLLE-Aib-GPSSGAPPPS-NH<sub>2</sub> (SEQ ID NO: 25).

Ниже приведено изображение структуры соединения по Примеру 20 с использованием стандартных однобуквенных аминокислотных кодов, за исключением остатков Aib2, K17, Aib20 и Aib29, где структуры этих аминокислотных остатков были расширены:



Для синтеза пептидного каркаса, для конъюгирования фрагмента жирная кислота-линкер, для проверки чистоты и для подтверждения молекулярной массы соединения по Примеру 20 применяли процессы, аналогичные описанным выше для Примера 1.

20 ФУНКЦИЯ IN VITRO  
Аффинность связывания  
Анализ конкурентного связывания радиолиганда проводили для  
определения равновесной константы диссоциации для типовых соединений и  
молекул-компараторов. В таком анализе применяли методы сцинтилляционного  
анализа сближения (SPA) и мембранные полученные из трансфицированных клеток  
HEK293, сверхэкспрессирующих рецептор GIP человека (GIPR), рецептор GLP-1  
(GLP-1R) или рецептор глюкагона человека (GcgR).  
25

анализы проводили в присутствии бациллера в качестве 30 неспецифического блокирующего агента для предотвращения связывания

ацилированных фрагментов тестируемых аналогов с белковыми компонентами, применяемыми в стандартных аналитических буферах (например, альбумин).

Кривые конкуренции представлены в виде процента специфического ингибирования (ось у) по отношению к логарифмической концентрации соединения (ось х) и проанализированы с помощью подгонки четырехпараметрической нелинейной регрессии с переменным наклоном (ABase или Genedata). Значения  $K_i$  рассчитывали согласно уравнению  $K_i = IC_{50}/(1+(D/K_d))$ , где  $IC_{50}$  представляет собой концентрацию соединения, приводящую к 50% ингибированию связывания, D представляет собой концентрацию радиолиганда, применяемого в анализе, и  $K_d$  представляет собой равновесную константу диссоциации для рецептора и радиолиганда, определенную из анализа связывания насыщения (продемонстрировано в Таблице 1 ниже).

Таблица 1. Равновесные константы диссоциации ( $K_d$ ), определенные из анализа связывания насыщения.

$K_d$ , нМ		
GLP-1R	GcgR	GIPR
1,2	3,9	0,14

Значения  $K_i$  типовых аналогов и молекул-компараторов приведены в Таблице 2 .

Таблица 2. Аффинность связывания *in vitro* ( $K_i$ ) соединений по Примерах и компараторов для GIPR, GLP-1R и GcgR человека.

	$K_i$ , нМ (SEM, n)		
Молекула	GcgR	GIPR	GLP-1R
hGcg	3,1 (0,5, 4)		
hGIP		0,12 (0,02, 4)	
hGLP-1			1,2 (0,2, 4)
Пример 1	8,41 (2,71, 5)	0,0469 (0,00558, 4/5)	2,64 (0,501, 5)
Пример 2	3,71 (1,49, 2)	0,0665 (0,0377, 2)	4,50 (0,735, 2)
Пример 3	12,0 (2,74, 4)	0,0446 (0,00838, 4)	6,06 (0,849, 4)
Пример 4	2,55 (0,411, 4)	0,0374 (0,0137, 4)	3,54 (0,503, 6)
Пример 5	0,422 (0,0887, 3)	0,179 (0,0466, 3)	36,7 (8,99, 3)
Пример 6	0,835 (0,369, 3)	0,249 (0,0369, 3)	36,7 (10,5, 3)
Пример 7	16,3 (2,37, 5)	0,110 (0,0206, 5)	21,4 (3,53, 5)
Пример 8	30,4 (38,9, 3)	0,0958 (0,0295, 3)	29,4 (29,8, 3)

Пример 9	8,27 (0,855, 4)	0,126 (0,0274, 4)	11,5 (1,85, 4)
Пример 10	7,37 (1,38, 4)	0,118 (0,0363, 4)	12,0 (2,75, 4)
Пример 11	10,8 (1,11, 4)	0,0890 (0,0369, 3/4)	9,97 (1,53, 4)
Пример 12	5,60 (0,796, 4)	0,0570 (0,00322, 4)	7,17 (1,68, 4)
Пример 13	1,91 (0,128, 3)	0,0452 (0,00297, 3)	6,43 (1,89, 5)
Пример 14	2,64 (0,231, 4)	0,0350 (0,00326, 4)	6,27 (1,12, 6)
Пример 15	4,56 (2,68, 2)	0,0972 ( $n = 1/2$ )	5,80 (1,80, 3)
Пример 16	11,5 (1,97, 5)	0,106 (0,0182, 5)	16,1 (2,30, 6)
Пример 17	5,81 (0,875, 3)	0,0895 (0,0290, 3)	10,2 (1,74, 3)
Пример 18	5,71 (0,588, 4)	0,0835 (0,0128, 4)	8,06 (2,04, 4)
Пример 19	5,20 (0,572, 3)	0,0789 (0,0261, 3)	12,0 (2,07, 3)
Пример 20	3,76 (0,397, 3)	0,109 (0,0247, 3)	9,23 (2,14, 3)

ПРИМЕЧАНИЕ. Квалификатор (>) указывает, что данные не достигли 50% -ного ингибиования относительно максимального связывания, в результате чего  $K_i$  рассчитывали с учетом самой высокой концентрации, протестированной в анализе.  $n = 1/x$  означает, что только одно значение из общего числа повторов (x)

5 применяется для выражения среднего значения. SEM рассчитывали только при наличии  $n = 2$  или более неквалифицированных результатов.

Как видно из Таблицы 2, типовые аналоги обладают аффинностью связывания с рецептором каждого из элементов: GIP, GLP-1 и глюкагона.

#### 10 Функциональная активность:

Функциональную активность определяли в клональных клеточных линиях HEK-293, экспрессирующих GIP-R-GLP-1R- и GcgR. Клеточную линию, сверхэкспрессирующую каждый receptor, обрабатывали пептидом (20-точечный CRC, 2,75-кратное прямое разбавление Labcyte Echo) в DMEM (Gibco Cat # 31053) с добавлением 1X GlutaMAX™ (Gibco Cat # 35050), 0,25% FBS (фетальная бычья сыворотка, Gibco Cat # 26400), 0,05% фракция V BSA (бычий сывороточный альбумин, Gibco Cat # 15260), 250 мкМ IBMX и 20 мМ HEPES (Gibco Cat # 15630) в объеме анализа 20 мкл.

После 60-минутной инкубации при комнатной температуре полученное 20 увеличение внутриклеточного цАМФ количественно определяли с помощью набора для анализа CisBio cAMP Dynamic 2 HTRF (62AM4PEJ). Вкратце, уровни цАМФ в клетке детектировали путем добавления конъюгата цАМФ-d2 в буфер для

лизиса клеток с последующим добавлением антитела анти-цАМФ-Eu<sup>3+</sup>-криптат, также в буфере для лизиса клеток. Полученный конкурентный анализ инкубировали в течение по меньшей мере 60 минут при комнатной температуре и затем детектировали с помощью прибора PerkinElmer Envision® с возбуждением 5 при 320 нм и излучением при 665 нм и 620 нм. Единицы измерения Envision (эмиссия при 665 нм/620 нм \* 10000) являлись обратно пропорциональными количеству присутствующего цАМФ и были преобразованы в нМ цАМФ на лунку с помощью стандартной кривой цАМФ.

Количество вырабатываемого цАМФ (нМ) в каждой лунке преобразовывали 10 в процент от максимального ответа, наблюдаемого либо с GLP-1(7-36)NH<sub>2</sub> человека, Gcg человека, либо с GIP(1-42)NH<sub>2</sub> человека. Относительное значение EC<sub>50</sub> и верхний процент (Emax) получали путем нелинейного регрессионного анализа с использованием процентного максимального отклика по отношению к концентрации добавляемого пептида, подогнанного к четырехпараметрическому 15 логистическому уравнению.

Данные для типовых аналогов и hGIP(1-42)NH<sub>2</sub>, hGLP-1(7-36)NH<sub>2</sub> and hGcg приведены в Таблице 3 ниже.

Таблица 3. Функциональная эффективность цАМФ (EC<sub>50</sub>) для типовых аналогов и компараторов в присутствии FBS и BSA.

	цАМФ EC <sub>50</sub> , нМ (SEM, n)		
	GcgR	GIPR	GLP-1R
hGcg	0,0125 (0,000280014, 112)		
gGIP амид		0,133 (0,0082, 60)	
hGLP-1 амид			0,0591 (0,00091, 113)
Пример 1	2,54 (0,199, n=6)	0,914 (0,0915, 6)	7,49 (1,02, 6)
Пример 2	2,66 (0,175, 5)	2,19 (0,392, 5)	12,8 (2,50, 5)
Пример 3	8,03 (0,997, 6)	1,91 (0,205, 6)	12,9 (1,58, 6)
Пример 4	2,49 (0,371, 7)	1,55 (0,245, 7)	10,4 (1,80, 7)
Пример 5	1,47 (0,171, 6)	4,86 (0,682, 6)	22,3 (3,78, 6)
Пример 6	1,99 (0,201, 6)	7,41 (0,667, 6)	21,2 (2,02, 6)
Пример 7	14,2 (2,24, 6)	4,38 (0,750, 6)	15,5 (2,40, 6)
Пример 8	6,24 (0,673, 6)	2,23 (0,164, 6)	9,39 (0,959, 6)

Пример 9	6,32 (0,290, 4)	4,17 (0,695, 4)	9,76 (1,98, 4)
Пример 10	8,42 (1,17, 4)	4,30 (0,987, 4)	19,3 (1,52, 4)
Пример 11	11,9 (0,727, 6)	1,50 (0,124, 6)	10,3 (0,808, 6)
Пример 12	6,61 (0,512, 6)	2,24 (0,303, 6)	12,4 (1,41, 6)
Пример 13	3,61 (0,197, 8)	1,76 (0,126, 8)	12,2 (1,00, 8)
Пример 14	4,05 (0,255, 7)	1,55 (0,165, 7)	14,4 (1,71, 7)
Пример 15	5,92 (1,10, 4)	1,47 (0,264, 4)	10,7 (1,85, 4)
Пример 16	13,2 (1,93, 6)	4,37 (0,589, 6)	19,0 (2,39, 6)
Пример 17	8,05 (1,26, 3)	2,38 (0,212, 3)	18,4 (3,75, 3)
Пример 18	5,71 (0,256, 4)	5,89 (1,05, 4)	16,1 (2,61, 4)
Пример 19	8,45 (0,828, 3)	3,13 (0,179, 3)	24,4 (2,85, 3)
Пример 20	3,97 (0,284, 3)	3,70 (1,02, 3)	20,6 (5,10, 3)

ПРИМЕЧАНИЕ: определение EC<sub>50</sub> GLP-1(7-36)NH<sub>2</sub> человека с GLP-1R человека, Gcg человека с GcgR человека и GIP(1-42)NH<sub>2</sub> человека с GIP-R человека: диапазоны концентрации пептида составляли от 448 до 99,5 нМ. Определение EC<sub>50</sub> соединений по Примерах в GLP-1R человека, GcgR человека и GIP-R человека: диапазоны концентраций пептида составляли от 51,5 фМ до 11,4 мкМ.

Как видно из Таблицы 3, в присутствии FBS и BSA типовые аналоги обладают агонистической активностью, которая определяется с помощью анализов цАМФ GIP-R, GLP-1R и GcgR, которые являются ниже, чем у нативных лигандов.

Дополнительный набор анализов цАМФ проводили в клетках HEK293, экспрессирующих рецепторы GLP-1, GIP и глюкагона человека. С помощью методов гомогенной флуоресценции с временным разрешением проводили анализы для определения собственной активности типовых аналогов и молекул-компаративов в присутствии казеина (вместо сывороточного альбумина) в качестве неспецифического блокатора, который не взаимодействует с фрагментами жирной кислоты анализируемых молекул.

Внутриклеточные уровни цАМФ определяли экстраполяцией с применением стандартной кривой. Кривые доза-эффект для соединений представляли в виде процентного соотношения стимуляции, нормализованного к минимальным (только буфер) и максимальным (максимальная концентрация каждого контрольного лиганда) значениям, и анализировали с помощью подгонки четырехпараметрической нелинейной регрессии с переменным наклоном

(Genedata Screener 13) . EC<sub>50</sub> представляет собой концентрацию соединения, вызывающую полумаксимальное моделирование на кривой доза-эффект.

Данные приведены ниже в Таблице 4.

Таблица 4. Функциональная активация hGLP-1R, hGIPR, hGcgR в присутствии 0,1% казеина.

	ЦАМФ EC <sub>50</sub> , нМ (SEM, n)		
	GcGR	GIPR	GLP-1R
hGcg	0,0119 (0,00356, 163)		
hGIP амид		0,154 (0,037, 118)	
gGLP-1 амид			0,063 (0,022, 197)
Пример 1	0,114 (0,0203, 5)	0,0523 (0,0112, 5)	0,153 (0,0132, 12)
Пример 2	0,0553 (0,00975, 4)	0,0474 (0,00485, 4)	0,207 (0,0213, 6)
Пример 3	0,152 (0,0147, 7)	0,0376 (0,00284, 7)	0,107 (0,0108, 7)
Пример 4	0,0674 (0,00532, 15)	0,0648 (0,00507, 14)	0,180 (0,0144, 17)
Пример 5	0,0226 (0,00304, 10)	0,0757 (0,0127, 5)	0,147 (0,0204, 7)
Пример 6	0,0282 (0,00409, 7)	0,274 (0,0377, 7)	0,142 (0,0127, 10)
Пример 7	0,180 (0,0190, 6)	0,0798 (0,0111, 6)	0,109 (0,0134, 5)
Пример 8	0,120 (0,0210, 5)	0,114 (0,0101, 4)	0,117 (0,0151, 7)
Пример 9	0,139 (0,0281, 5)	0,0522 (0,00816, 4)	0,0931 (0,00852, 8)
Пример 10	0,123 (0,00784, 15)	0,0928 (0,00721, 16)	0,143 (0,0103, 12)
Пример 11	0,205 (0,0175, 11)	0,0425 (0,00744, 12)	0,123 (0,0119, 13)
Пример 12	0,122 (0,00931, 15)	0,0529 (0,00394, 18)	0,162 (0,0100, 18)
Пример 13	0,0815 (0,00835, 12)	0,0391 (0,00315, 14)	0,125 (0,00961, 13)
Пример 14	0,0876 (0,00687, 17/18)	0,0356 (0,00242, 20)	0,146 (0,0108, 17)
Пример 15	0,131 (0,0141, 10)	0,0689 (0,00730, 9)	0,253 (0,0197, 9)
Пример 16	0,174 (0,00882, 22)	0,114 (0,0100, 20)	0,157 (0,0105, 20)
Пример 17	0,135 (0,00643, 12)	0,0439 (0,00457, 11)	0,153 (0,0135, 10)
Пример 18	0,0861 (0,00631, 16)	0,123 (0,00954, 13)	0,141 (0,00862, 13)
Пример 19	0,0874 (0,0317, 2)	0,0455 (0,00516, 2)	0,143 (0,0187, 3)
Пример 20	0,0641 (0,00369, 12)	0,0572 (0,00527, 11)	0,149 (0,00937, 11)

Как видно из Таблицы 4, типовые аналоги стимулируют ЦАМФ из рецепторов GIP, GLP-1 и глюкагона человека в присутствии 0,1% казеина.

### ИССЛЕДОВАНИЯ IN VIVO

Фармакокинетика у самцов крыс линии Sprague Dawley:

Фармакокинетику типовых аналогов оценивали после однократного подкожного введения 100 нМ/кг самцам крыс Sprague Dawley. Образцы крови собирали в течение 120 часов, и данные полученных индивидуальных концентраций в плазме крови применяли для расчета фармакокинетических параметров. Концентрации пептидов в плазме ( $K_3$  ЭДТК) определяли с помощью квалифицированного метода ЖХ/МС, который измеряет интактную массу аналога. Каждый пептид и аналог в качестве внутреннего стандарта экстрагировали из 100% -ной указанной плазмы с помощью метанола с 0,1% муравьиной кислотой. Прибор Thermo Q-Exactive, прибор с высоким разрешением и PepMap Thermo Easy Spray комбинировали для определения ЖХ/МС. Средние фармакокинетические параметры приведены в Таблице 5.

Таблица 5. Средние фармакокинетические параметры пептидов после однократного подкожного введения 100 нМоль/кг самцам крыс линии Sprague Dawley.

	T <sub>1/2</sub> (ч)	T <sub>max</sub> (ч)	C <sub>max</sub> /D (кг * нмоль/л/нмоль)	AUCINF_D_набл (час * кг * нмоль/л/нмоль)	CL/F (мл/ч/кг)
Пример 1	11,7	8	3,5	95,7	10,4
Пример 3	19,2	16	2,5	146	6,9
Пример 4	19,9	16	2,9	140	7,2
Пример 10	23,4	24	3,1	203,5	4,9
Пример 11	24,3	20	3,7	215,1	4,7
Пример 12	26,5	24	3,7	197,1	5,1
Пример 13	21,7	20	3,8	205,7	4,9
Пример 16	29,1	20	3,8	274,9	3,6
Пример 18	34,8	24	5,0	284,3	3,6

Сокращения: T<sub>1/2</sub> = период полураспада, T<sub>max</sub> = время до достижения максимальной концентрации, C<sub>max</sub> = максимальная концентрация в плазме, AUCINF\_D\_набл = AUC<sub>inf</sub>, деленное на дозу, CL/F = клиренс/биодоступность.

**ПРИМЕЧАНИЕ.** Данные представляют собой среднее значение, где n = 3/группу.

Как видно из Таблицы 5, типовые аналоги демонстрируют расширенный фармакокинетический профиль.

Влияние *in vivo* на секрецию инсулина у самцов крыс линии Вистар:

Для оценки инсулинопротропной активности типовых аналогов крысам (самец линии Вистар) выполняли внутривенный тест на толерантность к глюкозе (ivGTT). Семаглутид GLP-1 RA применяли в качестве положительного контроля. Крыс с хирургически имплантированными канюлями в яремной вене и сонной артерии 5 (Envigo, Индианаполис, Индиана; 280-320 грамм) помещали по одной на клетку в поликарбонатные клетки с фильтром в верхней части. Крыс содержали в 12-часовом цикле «свет-темнота» при 21 °C, назначали диету 2014 Teklad Global (Envigo, Индианаполис) и десорбированную воду без ограничения. Крыс 10 рандомизировали по массе тела и вводили им подкожно (п/к) 1,5 мл/кг типовых аналогов за 16 часов до введения глюкозы, а затем оставляли без еды. Исходные концентрации 211 нМ типовых аналогов разводили в трис-буфере, pH от 8,0 нМоль/мл до 6,667 нМоль/мл, 2,0 нМоль/мл, 0,667 нМоль/мл, 0,2 нМоль/мл; 15 тестируемые дозы были следующие: носитель, 1 нМоль/мл, 3 нМоль/мл и 10 нМоль/кг, а в некоторых случаях - 0,3 нМоль/мл и 30 нМоль/кг. Семаглутид применяли в качестве положительного контроля, и его инсулинопротропные эффекты измеряли как в анализе на уровень его самого (носитель и дозы 1 нМоль/кг, 3 нМоль/кг, 10 нМоль/кг и 30 нМоль/кг), так и в анализах с каждым типовым аналогом (доза 10 нМоль/кг).

Образец крови собирали в момент времени 0 в пробирки с ЭДТК, после 20 чего вводили глюкозу (0,5 мг/кг, 5 мл/кг). Образцы крови собирали для анализа уровней глюкозы и инсулина через 2, 4, 6, 10, 20 и 30 минут после внутривенного введения глюкозы. Инсулин в плазме определяли с помощью электрохемилюминесцентного анализа (Meso Scale, Gaithersburg, MD). Площадь инсулина под кривой (AUC) исследовали и сравнивали с носителем, взятым в 25 качестве контроля, с n = 6 животных на группу.

Статистический анализ выполняли с помощью JMP, применяя однофакторный анализ ANOVA с последующим сравнением с помощью критерия Даннета с носителем, взятым в качестве контроля. Результаты представлены в Таблице 6.

30 Таблица 6. Эффект носителя, семаглуттида и типовых аналогов на секрецию инсулина во время внутривенного теста на толерантность к глюкозе у анестезированных крыс линии Вистар.

	AUC <sub>30</sub> мин инсулина после болясной в/в дозы глюкозы				Семаглутид (10 нмоль/кг)
	Доза (нмоль/кг)				
	0	1	3	10	
Прим. 1	11,1 ± 1,3	60,1 ± 10,3 *	53,8 ± 5,1 *	71,5 ± 6,1 *	51,86 +/- 6,7 *
Прим. 3	12,6 ± 2,1	34,4 ± 2,9 *	47,5 ± 4,0 *	51,6 ± 5,4 *	45,6 +/- 6,6 *
Прим. 4	13,7 ± 2,3	27,4 ± 3,0	52,9 ± 3,0 *	70,8 ± 8,4 *	44,7 +/- 3,7 *
Прим. 11	11,3 ± 2,1	43,0 ± 6,8 *	59,2 ± 6,3 *	62,0 ± 4,6 *	55,1 +/- 9,0 *
Прим. 12	9,3 ± 1,8	32,4 +/- 2,4 *	44,8 ± 2,3 *	53,6 ± 6,0 * +	40,2 +/- 2,5 *
Прим. 13	8,9 ± 1,2	25,8 ± 2,7	47,3 ± 8,0 *	70,6 ± 4,8 *	38,4 +/- 6,0 *
Прим. 16	14,4 ± 2,1	18,9 ± 3,5	50,3 ± 4,2 *	50,1 ± 4,2 *	56,3 +/- 7,7 *
Прим. 18	12,3 ± 2,0	27,6 ± 4,6	44,8 ± 8,3 *	57,3 ± 10,0 *	48,4 +/- 6,6 *

ПРИМЕЧАНИЕ: результаты выражены в виде среднего значения ± стандартная ошибка средних значений (SEM) для 6 крыс на группу. Статистический тест представляет собой однофакторный ANOVA с последующим сравнением с помощью критерия Даннетта \* $p < 0,05$  по сравнению с носителем; + $p < 0,05$  по сравнению с семаглутидом.

Как видно из Таблицы 6, типовые аналоги демонстрируют дозозависимое увеличение секреции инсулина.

Исследования у мышей линии C57BL/6 с ожирением, индуцированным диетой:

Типовые аналоги инкретина, описанные в данном документе, предлагаются в качестве лечения не только диабета, но также метаболического синдрома, который представляет собой совокупность сопутствующих заболеваний (дислипидемия, ожирение, стеатоз печени и т.д.), ассоциированных с инсулинорезистентностью и диабетом. Чтобы исследовать эффекты типовых аналогов на такие параметры, как потеря веса, метаболизм, композиционный состав тела и стеатоз печени, их вводили мышам линии C57BL/6 с ожирением, индуцированным диетой (DIO). Эти животные, хотя и не страдали диабетом, имели инсулинорезистентность, дислипидемию и стеатоз печени, все признаки метаболического синдрома, после того, как содержались на диете с высоким содержанием жиров в течение 18 недель.

В частности, в следующих исследованиях использовались самцы мышей C57BL/6 с DIO в возрасте от 24 до 25 недель, которые содержались на диете с высоким содержанием калорий. Мышей индивидуально размещали в помещении

при температуре (24 °C) с 12-часовым циклом «свет-темнота» (свет в 22:00) и свободным доступом к пище (TD95217) (Teklad) и воде. После как минимум 2-х недель акклиматизации в помещении мышей рандомизировали в соответствии с их весом тела, поэтому каждая экспериментальная группа животных имела

5 сходный вес тела. Вес тела варьировался от 40 до 51 г.

Все группы насчитывали 5-6 мышей. Носитель, типовые аналоги, растворенные в носителе (40 мМ Трис-HCl при pH 8,0), и семаглутид, растворенный в носителе, вводили с помощью подкожной (п/к) инъекции (10 мл/кг) мышам с DIO, вскармливаемым *ad libitum*, за 30-90 минут до начала темного

10 цикла каждые 3 дня в течение 15 дней. П/к инъекции осуществляли в День 1, 4, 7, 10 и 13. Вес тела и потребление пищи измеряли ежедневно на протяжении всего исследования.

15 Абсолютные изменения веса тела рассчитывают путем вычитания веса тела того же животного перед первой инъекцией носителя, аналога или семаглуттида. В Дни 0 и 15 общую массу жира измеряли с помощью ядерного магнитного резонанса (ЯМР) с помощью прибора Echo Medical System (Houston, TX). В День 15 животных умерщвляли перед темным фотопериодом, а печень извлекали и замораживали. Уровень триглицеридов печени в гомогенатах печени, собранных при умерщвлении, и уровень холестерина в плазме измеряли на 20 клиническом анализаторе Hitachi Modular P.

Данные представлены как среднее ± SEM для 5-6 животных на группу в Таблицах 7 и 8 ниже. Статистический анализ выполняли с помощью повторных измерений ANOVA с последующим применением критерия Даннетта для множественных сравнений. Значимые различия идентифицировали при p < 0,05.

25 Таблица 7. Изменение веса тела через пятнадцать дней после введения типовых аналогов.

	Группа обработки					
	(3 нмоль/кг)		(10 нмоль/кг)		(30 нмоль/кг)	
	Δ от носителя (г)	% изменения	Δ от носителя (г)	% изменения	Δ от носителя (г)	% изменения
Прим. 1	-5,42 ± 0,54	-10,04 ± 1,14	-9,26 ± 0,36	-20,20 ± 1,51	-21,36 ± 1,08	-44,82 ± 1,54
Прим. 3			-10,14 ± 0,72	-21,18 ± 1,98		

Прим. 4			-11,58 ± 0,85	-23,64 ± 1,70	-19,98 ± 1,63	-43,88 ± 3,71
Прим. 5			-12,30 ± 2,20	-25,40 ± 4,56		
Прим. 6			-11,72 ± 1,78	-24,02 ± 3,31		
Прим. 7	-5,26 ± 0,49	-12,22 ± 1,19	-8,38 ± 0,50	-19,65 ± 1,27	-16,26 ± 2,23	
Прим. 10	-5,4 ± 0,49	-12,70 ± 1,17	-10,98 ± 0,76	-24,95 ± 1,99	-17,08 ± 1,43	-39,51 ± 3,84
Прим. 11	-7,22 ± 0,38	-16,58 ± 0,88	-11,82 ± 1,72	-26,83 ± 4,04	-16,48 ± 1,98	-37,35 ± 3,91
Прим. 12	-8,40 ± 0,77	-19,33 ± 1,66	-10,34 ± 0,69	-23,37 ± 1,40	-17,44 ± 1,37	-46,60 ± 3,78
Прим. 13	-4,92 ± 0,86	-10,14 ± 1,87	-11,02 ± 0,77	-23,80 ± 1,25	-21,12 ± 2,09	
Прим. 14	-6,12 ± 0,80	-13,38 ± 1,80	-14,76 ± 1,06	-32,32 ± 2,49	-20,04 ± 2,40	-45,26 ± 4,79
Прим. 16	-7,44 ± 0,74	-16,78 ± 1,88	-12,24 ± 1,66	-28,08 ± 4,23	-16,70 ± 1,67	-37,42 ± 3,58
Прим. 18			-13,16 ± 0,82	-28,48 ± 2,05	-19,54 ± 2,37	-43,02 ± 4,59
Прим. 20	-4,18 ± 0,50	-8,98 ± 1,26	-10,76 ± 1,57	-24,42 ± 3,74	-23,00 ± 0,59	-52,14 ± 1,74
Sema		-2,62 ± 0,49		-10,31 ± 1,25		-15,49 ± 2,44

ПРИМЕЧАНИЕ: «Δ от носителя» относится к разнице между весом тела на 15-й день между исследуемой группой и группой, получавшей носитель. «% изменения» относится к процентному снижению веса тела между днями 1 и 15 в исследуемых группах. «Sema» означает семаглутид. Процент снижения веса тела у животных, получающих носитель, регистрировался и составлял менее 1% в каждом исследовании. Δ от носителя и % изменения статистически значимо отличались ( $p<0,05$ ) от контроля для соединений всех Примеров во всех исследуемых дозах.

5

Как видно из приведенной выше Таблицы 7, типовые аналоги демонстрируют дозозависимое снижение веса тела.

Данные по метаболическим параметрам при применении дозы 3 нмоль/кг приведены ниже в Таблице 8.

5 Таблица 8. Эффект воздействия типовыми аналогами в дозе 3 нмоль/кг на уровни глюкозы крови, инсулина, холестерина, аланинаминотрансферазы (ALT) и триглицериды печени после пятнадцати дней лечения.

Лечение	Метаболические параметры (среднее ± SEM)				
	Глюкоза (мг/дл)	Инсулин в плазме (пг/мл)	Холестерин (мг/дл)	ALT (МЕ/л)	Триглицериды печени (мг/г ткани)
Носитель	149,7 ± 3,09	8549±1265	234,6 ± 3,42	141,8 ± 11,5	290,4 ± 13,3
Семаглутид	137,8 ± 7,34	4196 ± 1014*	218,0 ± 9,23	99,8 ± 14,84	226,4 ± 23,8
Пример 1	107,4 ± 4,38 *	3439 ± 936,4 *	191,2 ± 7,55 *	118,0 ± 20,73	150,6 ± 37,0 *
Пример 7	109,3 ± 5,78 *	2656 ± 949 *	169,2 ± 11,79 *	51,0 ± 7,78 *	97,9 ± 18,2 *
Пример 10	109,6 ± 4,81 *	571,4 ± 158,4 *	181,0 ± 6,20 *	77,2 ± 9,35 *	126,8 ± 17,0 *
Пример 11	114,7 ± 3,051 *	1569 ± 318,3 *	178,2 ± 7,95 *	56,2 ± 4,51 *	93,8 ± 21,8 *
Пример 12	114,9 ± 2,12 *	1691 ± 231,3 *	169,0 ± 8,15 *	58,6 ± 6,03 *	98,2 ± 13,2 *
Пример 13	119,7 ± 4,19 *	2903 ± 737,4 *	192,2 ± 11,44 *	54,4 ± 6,82 *	94,5 ± 22,0 *
Пример 14	111,5 ± 1,77 *	1971 ± 499,8 *	164,8 ± 5,85 *	31,4 ± 2,79 *	63,1 ± 7,3 *
Пример 16	110,1 ± 3,61 *	3227 ± 1070 *	173,8 ± 9,32 *	20,6 ± 4,43 *	40,2 ± 13,2 *
Пример 18	102,9 ± 5,37 *	1958 ± 460,5 *	190,0 ± 13,71 *	66,0 ± 10,21 *	109,5 ± 22,9 *

**ПРИМЕЧАНИЕ:** \* p<0,05 по сравнению с группой, получавшей носитель; однофакторный анализ ANOVA, критерий Даннета.

В дополнение к существенной потере веса, как видно из Таблицы 8, типовые аналоги снижают уровень глюкозы в крови, инсулина в плазме (как 5 признак повышения чувствительности к инсулину) и холестерина в плазме, а также улучшают состояние печени, что проявляется в снижении ALT в плазме и уровня триглицеридов в печени.

SEQ ID NO: 1 - глюагон человека

10 HSQGTFTSDYSKYLDSRRAQDFVQWLMNT

SEQ ID NO: 2 - GLP-1 (7-36) амид человека

HAEGTFTSDVSSYLEGQAAKEFIAWLVKGRG

15 SEQ ID NO: 3 - ОХМ человека

(HSQGTFTSDYSKYLDSRRAQDFVQWLMNTKRNRRNNIA)

SEQ ID NO: 4 - GIP человека

YAEGTFISDYSIAMDKIHQHQDFVNWLLAQKGKKNDWKHNITQ

20

SEQ ID NO: 5 - аналог инкретина

YX<sub>2</sub>QGTFTSDYSIX<sub>13</sub>LDKX<sub>17</sub>AX<sub>19</sub>X<sub>20</sub>AFIEYLLX<sub>28</sub>X<sub>29</sub>GPSSX<sub>34</sub>APPPS

где:

X<sub>2</sub> представляет собой Aib;

25

X<sub>13</sub> представляет собой L или aMeL,

X<sub>17</sub> представляет собой любую аминокислоту с функциональной группой, доступной для конъюгации, и при этом указанная функциональная группа конъюгирована с жирной кислотой C<sub>16</sub> - C<sub>22</sub>,

30

X<sub>19</sub> представляет собой Q или A,

X<sub>20</sub> представляет собой Aib, aMeK, Q или H,

X<sub>28</sub> представляет собой E или A,

X<sub>29</sub> представляет собой G или Aib, и

X<sub>34</sub> представляет собой G или Aib

35

SEQ ID NO: 6 - аналог инкретина

Y-Aib-QGTFTSDYSI- $\alpha$ MeL-LDKK((2-[2-(2-амино-этокси)-этокси]-ацетил)-(γGlu)-CO-(CH<sub>2</sub>)<sub>18</sub>-CO<sub>2</sub>H)AQHAFIEYLLA-Aib-GPSSGAPPPS-NH<sub>2</sub>

SEQ ID NO: 7 - аналог инкретина

5 Y-Aib-QGTFTSDYSI- $\alpha$ MeL-LDKK((2-[2-(2-амино-этокси)-этокси]-ацетил)<sub>2</sub>-(γGlu)-CO-(CH<sub>2</sub>)<sub>18</sub>-CO<sub>2</sub>H)AQ- $\alpha$ MeK-AFIEYLLA-Aib-GPSSGAPPPS-NH<sub>2</sub>

SEQ ID NO: 8 - аналог инкретина

10 Y-Aib-QGTFTSDYSI- $\alpha$ MeL-LDKK((2-[2-(2-амино-этокси)-этокси]-ацетил)<sub>2</sub>-(γGlu)-CO-(CH<sub>2</sub>)<sub>18</sub>-CO<sub>2</sub>H)AQ- $\alpha$ MeK-AFIEYLLEGGPSSGAPPPS-NH<sub>2</sub>

SEQ ID NO: 9 - аналог инкретина

Y-Aib-QGTFTSDYSILLDKK((2-[2-(2-амино-этокси)-этокси]-ацетил)-(γGlu)-CO-(CH<sub>2</sub>)<sub>18</sub>-CO<sub>2</sub>H)AQ-Aib-AFIEYLLA-Aib-GPSSGAPPPS-NH<sub>2</sub>

15 SEQ ID NO: 10 - аналог инкретина  
Y-Aib-QGTFTSDYSI- $\alpha$ MeL-LDKK((2-[2-(2-амино-этокси)-этокси]-ацетил)<sub>2</sub>-(γGlu)-CO-(CH<sub>2</sub>)<sub>18</sub>-CO<sub>2</sub>H)AAQAFIEYLLE-Aib-GPSSGAPPPS-NH<sub>2</sub>

20 SEQ ID NO: 11 - аналог инкретина  
Y-Aib-QGTFTSDYSI- $\alpha$ MeL-LDKK((2-[2-(2-амино-этокси)-этокси]-ацетил)<sub>2</sub>-(γGlu)-CO-(CH<sub>2</sub>)<sub>18</sub>-CO<sub>2</sub>H)AAQAFIEYLLEGGPSSGAPPPS-NH<sub>2</sub>

SEQ ID NO: 12 - аналог инкретина

25 Y-Aib-QGTFTSDYSI- $\alpha$ MeL-LDKK((2-[2-(2-амино-этокси)-этокси]-ацетил)<sub>2</sub>-(γGlu)-CO-(CH<sub>2</sub>)<sub>18</sub>-CO<sub>2</sub>H)AQHAFIEYLLEGGPSSGAPPPS-NH<sub>2</sub>

SEQ ID NO: 13 - аналог инкретина

30 Y-Aib-QGTFTSDYSILLDKK((2-[2-(2-амино-этокси)-этокси]-ацетил)<sub>2</sub>-(γGlu)-CO-(CH<sub>2</sub>)<sub>18</sub>-CO<sub>2</sub>H)AQ- $\alpha$ MeK-AFIEYLLEGGPSSGAPPPS-NH<sub>2</sub>

SEQ ID NO: 14 - аналог инкретина

Y-Aib-QGTFTSDYSI- $\alpha$ MeL-LDKK((γGlu)<sub>2</sub>-CO-(CH<sub>2</sub>)<sub>18</sub>-CO<sub>2</sub>H)AQHAFIEYLLEGGPSSGAPPPS-NH<sub>2</sub>

SEQ ID NO: 15 - аналог инкретина

Y-Aib-QGTFTSDYSI- $\alpha$ MeL-LDKK((2-[2-(2-амино-этокси)-этокси]-ацетил)-(γGlu)-CO-(CH<sub>2</sub>)<sub>18</sub>-CO<sub>2</sub>H)AQHAFIEYLLEGGPSSGAPPPS-NH<sub>2</sub>

5    SEQ ID NO: 16 - аналог инкретина

Y-Aib-QGTFTSDYSI- $\alpha$ MeL-LDKK((2-[2-(2-амино-этокси)-этокси]-ацетил)<sub>2</sub>-(γGlu)-CO-(CH<sub>2</sub>)<sub>18</sub>-CO<sub>2</sub>H)AQ-Aib-AFIEYLLEGGPSSGAPPPS-NH<sub>2</sub>

SEQ ID NO: 17 - аналог инкретина

10    Y-Aib-QGTFTSDYSI- $\alpha$ MeL-LDKK((2-[2-(2-амино-этокси)-этокси]-ацетил)-(γGlu)-CO-(CH<sub>2</sub>)<sub>18</sub>-CO<sub>2</sub>H)AQ-Aib-AFIEYLLEGGPSSGAPPPS-NH<sub>2</sub>

SEQ ID NO: 18 - аналог инкретина

15    Y-Aib-QGTFTSDYSI- $\alpha$ MeL-LDKK((2-[2-(2-амино-этокси)-этокси]-ацетил)-(γGlu)-CO-(CH<sub>2</sub>)<sub>18</sub>-CO<sub>2</sub>H)AQ-Aib-AFIEYLLE-Aib-GPSSGAPPPS-NH<sub>2</sub>

SEQ ID NO: 19 - аналог инкретина

Y-Aib-QGTFTSDYSI- $\alpha$ MeL-LDKK((2-[2-(2-амино-этокси)-этокси]-ацетил)-(γGlu)-CO-(CH<sub>2</sub>)<sub>18</sub>-CO<sub>2</sub>H)AQ-Aib-AFIEYLLE-Aib-GPSS-Aib-APPPS-NH<sub>2</sub>

20

SEQ ID NO: 20 - аналог инкретина

Y-Aib-QGTFTSDYSILDKK((2-[2-(2-амино-этокси)-этокси]-ацетил)<sub>2</sub>-(γGlu)-CO-(CH<sub>2</sub>)<sub>18</sub>-CO<sub>2</sub>H)AQ-Aib-AFIEYLLA-Aib-GPSSGAPPPS-NH<sub>2</sub>

25    SEQ ID NO: 21 - аналог инкретина

Y-Aib-QGTFTSDYSILDKK((2-[2-(2-амино-этокси)-этокси]-ацетил)<sub>2</sub>-(γGlu)-CO-(CH<sub>2</sub>)<sub>18</sub>-CO<sub>2</sub>H)AQ-Aib-AFIEYLLE-Aib-GPSSGAPPPS-NH<sub>2</sub>

SEQ ID NO: 22 - аналог инкретина

30    Y-Aib-QGTFTSDYSILDKK((2-[2-(2-амино-этокси)-этокси]-ацетил)<sub>2</sub>-(γGlu)-CO-(CH<sub>2</sub>)<sub>18</sub>-CO<sub>2</sub>H)AQ-Aib-AFIEYLLE-Aib-GPSSGAPPPS-NH<sub>2</sub>

SEQ ID NO: 23 - аналог инкретина

35    Y-Aib-QGTFTSDYSILDKK((2-[2-(2-амино-этокси)-этокси]-ацетил)-(γGlu)-CO-(CH<sub>2</sub>)<sub>18</sub>-CO<sub>2</sub>H)AQ-Aib-AFIEYLLEGGPSSGAPPPS-NH<sub>2</sub>

SEQ ID NO: 24 - аналог инкретина

Y-Aib-QGTFTSDYSILDKK((2-[2-(2-амино-этокси)-этокси]-ацетил)-(γGlu)<sub>2</sub>-CO-(CH<sub>2</sub>)<sub>18</sub>-CO<sub>2</sub>H)AQ-Aib-AFIEYLLE-Aib-GPSSGAPPPS-NH<sub>2</sub>

5

SEQ ID NO: 25 - аналог инкретина

Y-Aib-QGTFTSDYSILDKK((2-[2-(2-амино-этокси)-этокси]-ацетил)-(γGlu)-CO-(CH<sub>2</sub>)<sub>18</sub>-CO<sub>2</sub>H)AQ-Aib-AFIEYLLE-Aib-GPSSGAPPPS-NH<sub>2</sub>

10 SEQ ID NO: 26 - Искусственная последовательность

GPSSGAPPPS

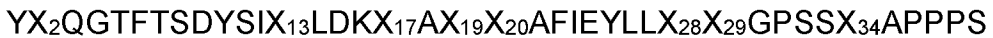
SEQ ID NO: 27 - Искусственная последовательность

GPSS-Aib-APPPS

15

## ФОРМУЛА ИЗОБРЕТЕНИЯ

1. Аналог инкретина, содержащий:



5 где:

$X_2$  представляет собой Aib;

$X_{13}$  представляет собой L или aMeL,

$X_{17}$  представляет собой любую аминокислоту с функциональной группой, доступной для конъюгации, и при этом указанная функциональная 10 группа конъюгирована с жирной кислотой C<sub>16</sub> - C<sub>22</sub>,

$X_{19}$  представляет собой Q или E

$X_{20}$  представляет собой Aib, aMeK, Q или H,

$X_{28}$  представляет собой E или A,

$X_{29}$  представляет собой G или Aib,

15  $X_{34}$  представляет собой G или Aib,

(SEQ ID NO:5), и

где С-концевая аминокислота необязательно является амидированной.

или его фармацевтически приемлемая соль.

20 2. Аналог инкретина по п. 1, отличающийся тем, что указанную аминокислоту с функциональной группой, доступной для конъюгации в положении  $X_{17}$ , выбирают из группы, состоящей из K, C, E и D.

25 3. Аналог инкретина по п. 1, отличающийся тем, что указанная аминокислота с функциональной группой, доступной для конъюгации в положении  $X_{17}$ , представляет собой K.

30 4. Аналог инкретина по любому из пп. 1 - 3, отличающийся тем, что указанная аминокислота с функциональной группой, доступной для конъюгации в положении  $X_{17}$ , и жирная кислота C<sub>16</sub> - C<sub>22</sub> конъюгированы линкером между аминокислотой и жирной кислотой.

5. Аналог инкретина по п. 4, отличающийся тем, что указанный линкер содержит от одной до четырех аминокислот.

6. Аналог инкретина по п. 5, отличающийся тем, что указанные аминокислоты представляют собой Glu или  $\gamma$ Glu.
7. Аналог инкретина по любому из пп. 4 - 6, отличающийся тем, что указанный линкер дополнительно содержит структуру:
- H-{NH-CH<sub>2</sub>-CH<sub>2</sub>-[O-CH<sub>2</sub>-CH<sub>2</sub>]<sub>m</sub>-O-(CH<sub>2</sub>)<sub>p</sub>-CO}<sub>n</sub>-OH, где m представляет собой любое целое число от 1 до 12, n представляет собой любое целое число от 1 до 12, и p равно 1 или 2.
- 10 8. Аналог инкретина по любому из пп. 4 - 7, отличающийся тем, что указанный линкер дополнительно содержит от одного до четырех фрагментов (2-[2-(2-аминоэтокси)-этокси]-ацетил).
- 15 9. Аналог инкретина по п. 1, отличающийся тем, что X<sub>17</sub> представляет собой K, химически модифицированную путем конъюгации с эпсилон-аминогруппой K-боковой цепи со следующей структурой:
- (2-[2-(2-аминоэтокси)-этокси]-ацетил)<sub>a</sub>-( $\gamma$ Glu)<sub>b</sub>-CO-(CH<sub>2</sub>)<sub>c</sub>-CO<sub>2</sub>H, где a равно 0, 1 или 2; b равно 1 или 2; и c представляет собой целое число от 16 до 18.
- 20 10. Аналог инкретина по п. 9, отличающийся тем, что a равно 1.
11. Аналог инкретина по п. 9, отличающийся тем, что a равно 2.
12. Аналог инкретина по любому из пп. 9 - 11, отличающийся тем, что b равно 1.
- 25 13. Аналог инкретина по любому из пп. 9 - 11, отличающийся тем, что b равно 2.
14. Аналог инкретина по любому из пп. 9 - 13, отличающийся тем, что c равно 18.
- 30 15. Аналог инкретина по любому из пп. 1 - 14, отличающийся тем, что X<sub>13</sub> представляет собой aMeL.
16. Аналог инкретина по любому из пп. 1 - 14, отличающийся тем, что X<sub>13</sub> представляет собой L.

17. Аналог инкретина по любому из пп. 1 - 16, отличающийся тем, что  $X_{20}$  представляет собой Aib.
18. Аналог инкретина по любому из пп. 1 - 17, отличающийся тем, что  $X_{28}$  5 представляет собой E.
19. Аналог инкретина по любому из пп. 1 - 18, отличающийся тем, что  $X_{29}$  представляет собой G.
- 10 20. Аналог инкретина по любому из пп. 1 - 19, отличающийся тем, что  $X_{34}$  представляет собой G.
- 15 21. Аналог инкретина по любому из пп. 1 - 20, отличающийся тем, что  $X_{19}$  представляет собой A.
22. Аналог инкретина по п. 9, отличающийся тем, что a равно 1, b равно 1, с равно 18,  $X_{13}$  представляет собой aMeL,  $X_{19}$  представляет собой A,  $X_{20}$  представляет собой Aib,  $X_{28}$  представляет собой E,  $X_{29}$  представляет собой G и  $X_{34}$  представляет собой G.
- 20 23. Аналог инкретина, имеющий формулу, выбранную из группы, состоящей из SEQ ID NO: 6, SEQ ID NO: 8, SEQ ID NO: 9, SEQ ID NO: 16, SEQ ID NO: 17, SEQ ID NO: 18 , SEQ ID NO: 21 и SEQ ID NO: 23.
- 25 24. Способ лечения заболевания, выбранного из группы, состоящей из сахарного диабета, ожирения, жировой болезни печени, неалкогольного стеатогепатита, дислипидемии и метаболического синдрома, при этом указанный способ включает этап:  
введения нуждающемуся в этом индивидууму эффективного количества
- 30 аналога инкретина по любому из пп. 1 - 23.
25. Способ лечения сахарного диабета II типа, при этом указанный способ включает этап:  
введения нуждающемуся в этом индивидууму эффективного количества
- 35 аналога инкретина по любому из пп. 1 - 23.

26. Фармацевтическая композиция, содержащая:  
аналог инкретина по любому из пп. 1 - 23; а также  
фармацевтически приемлемый носитель, разбавитель или  
5 вспомагательное вещество.
27. Аналог инкретина по любому из пп. 1 - 23 для применения при лечении заболевания, выбранного из группы, состоящей из сахарного диабета, дислипидемии, жировой болезни печени, метаболического синдрома,  
10 неалкогольного стеатогепатита и ожирения.
28. Аналог инкретина по любому из пп. 1 - 23 для применения при лечении сахарного диабета II типа.
- 15 29. Применение аналога инкретина по любому из пп. 1 - 23 в изготовлении лекарственного средства для лечения заболевания, выбранного из группы, состоящей из сахарного диабета, дислипидемии, жировой болезни печени, метаболического синдрома, неалкогольного стеатогепатита и ожирения.
- 20 30. Применение аналога инкретина по любому из пп. 1 - 23 в изготовлении лекарственного средства для лечения сахарного диабета II типа.